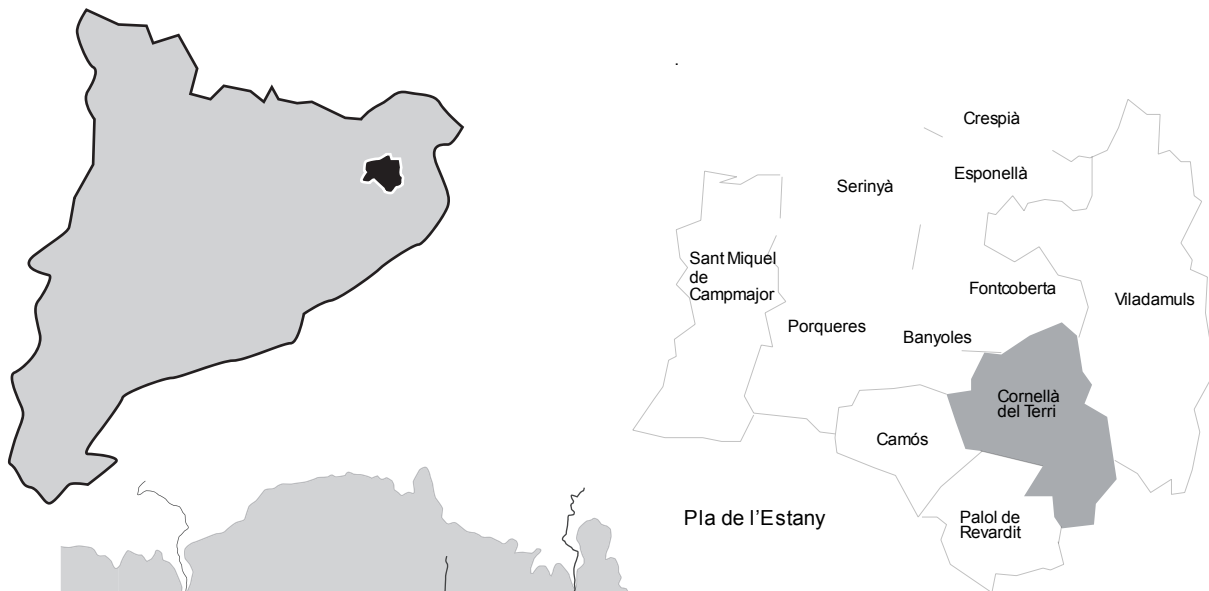
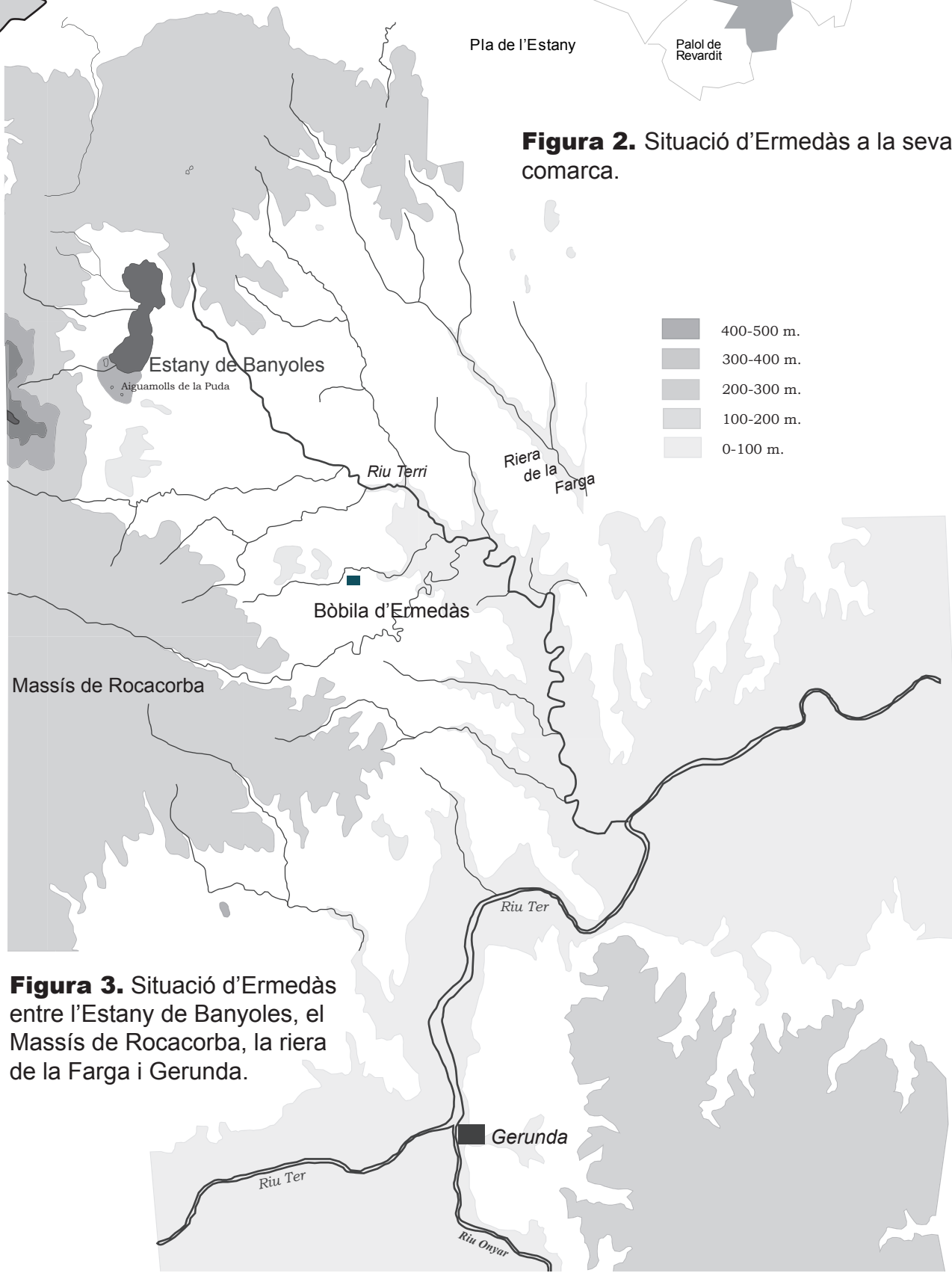


**Figura 1.** Situació d'Ermedàs a l'àrea catalana

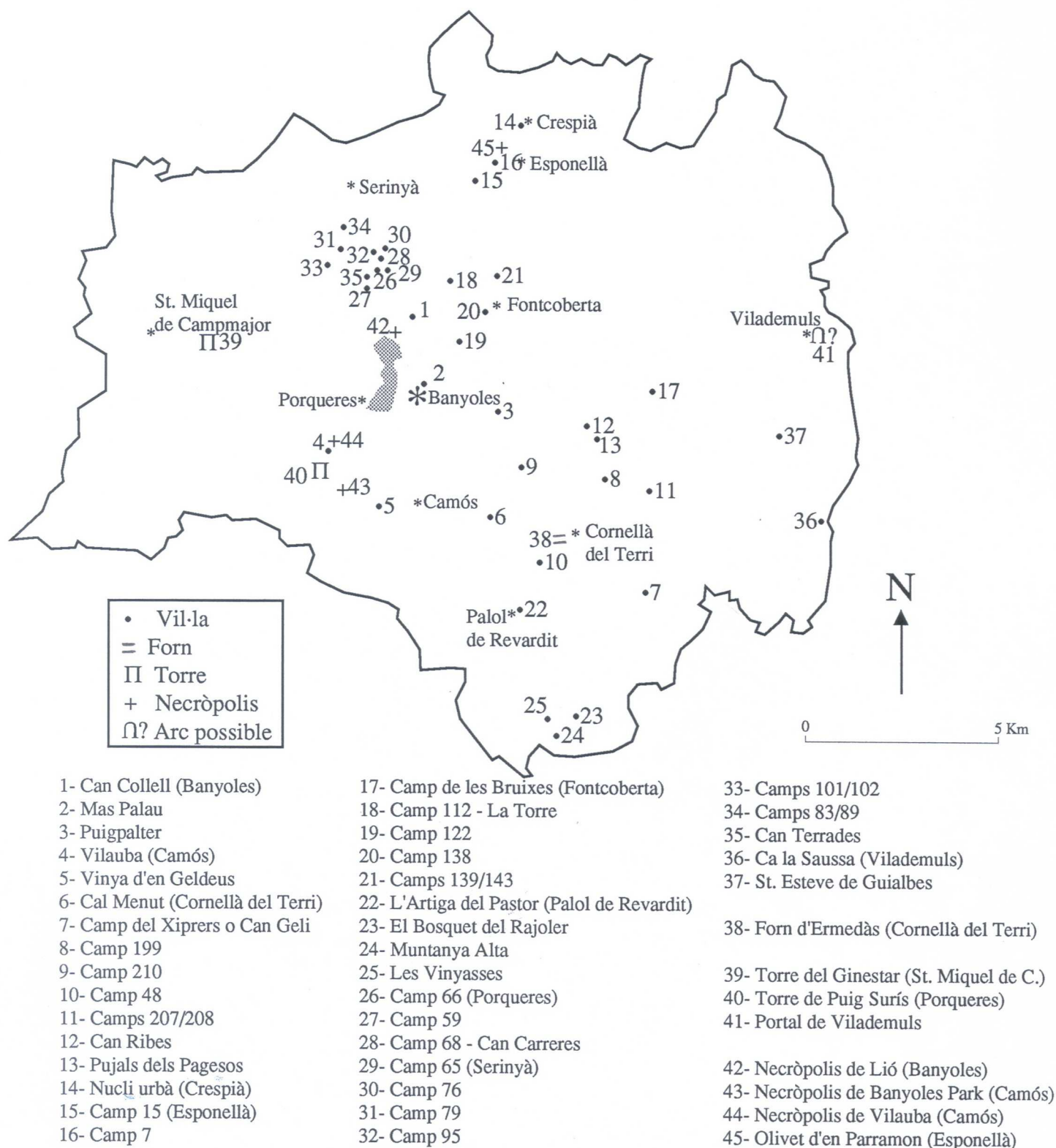


**Figura 2.** Situació d'Ermedàs a la seva comarca.



**Figura 3.** Situació d'Ermedàs entre l'Estany de Banyoles, el Massís de Rocacorba, la riera de la Farga i Gerunda.

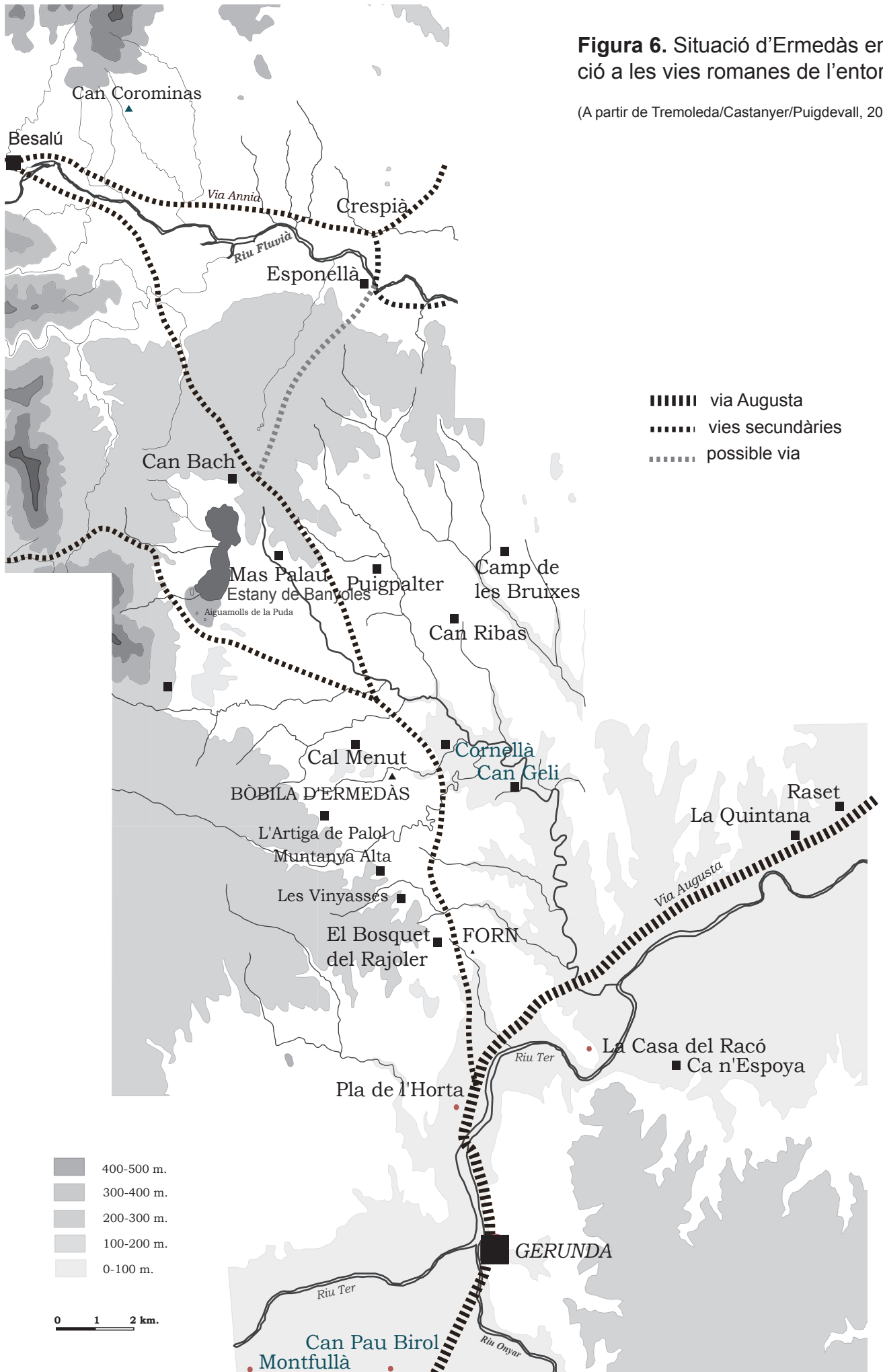
## Distribució del poblament d'època romana al Pla de l'Estany (segles II a.C.-III d.C.).

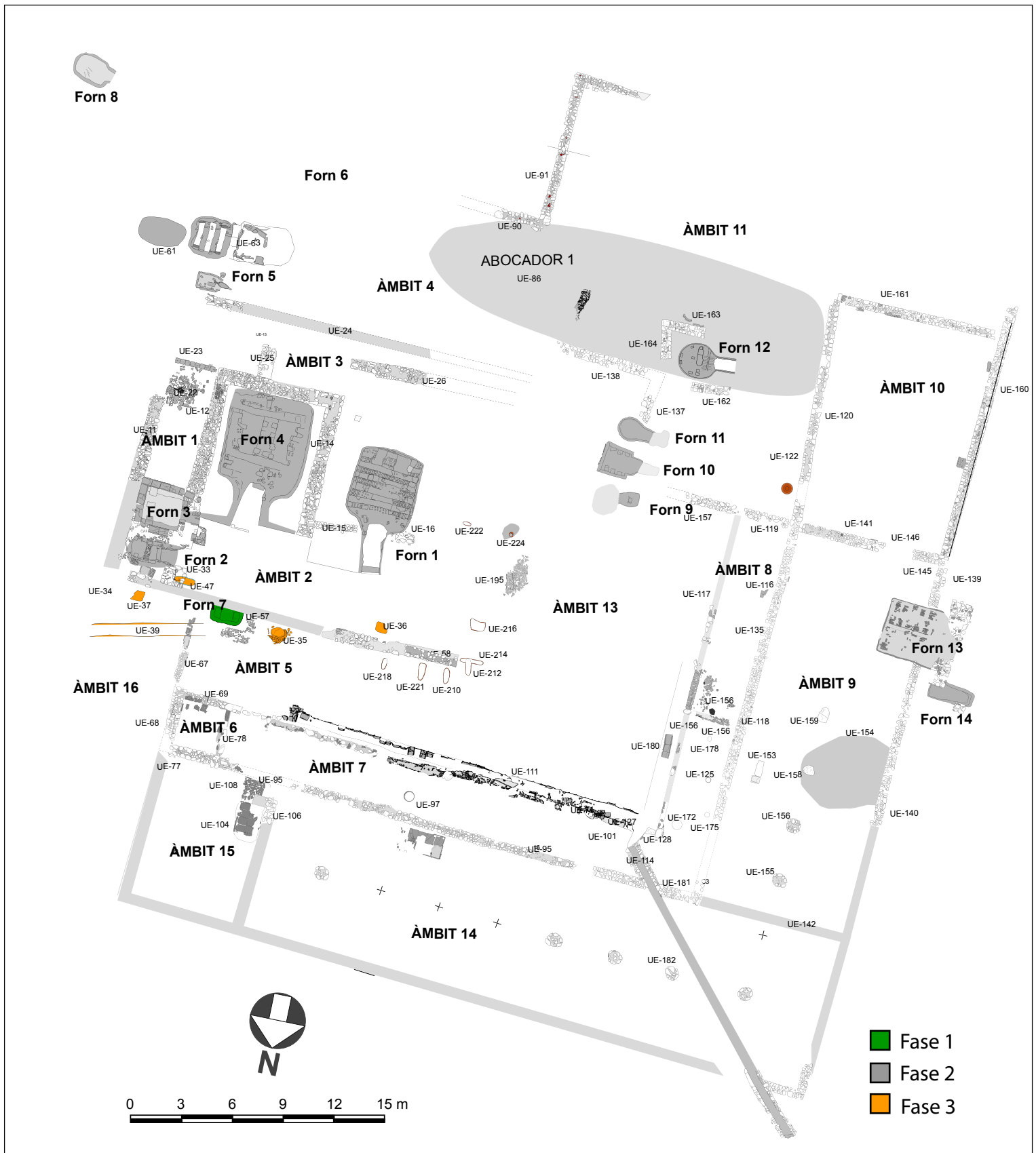


**Figura 5.** Distribució dels jaciments d'època romana en el Pla de l'Estany (Tremoleda/Castanyer, 2000)

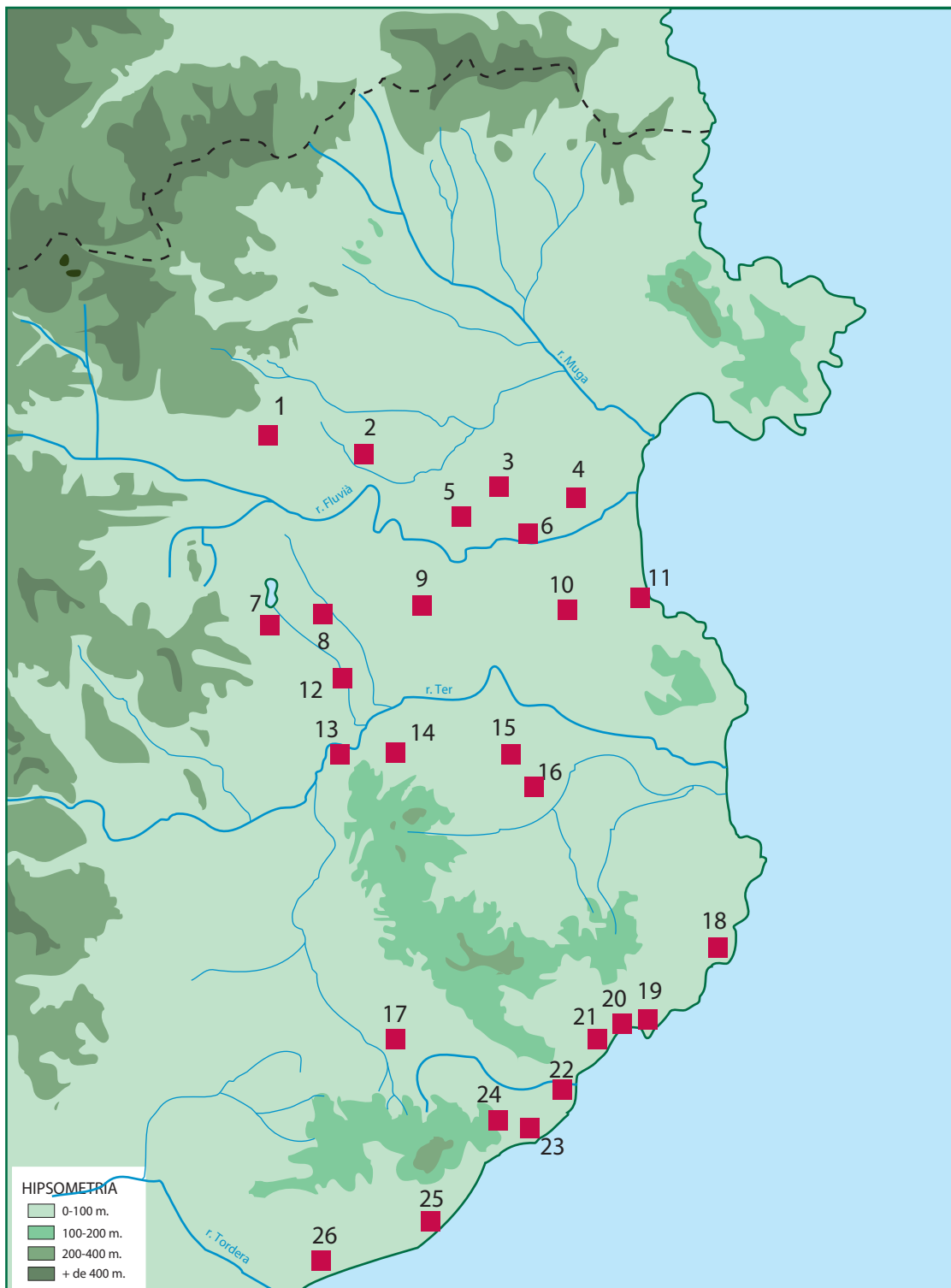
**Figura 6.** Situació d'Ermedàs en relació a les vies romanes de l'entorn.

(A partir de Tremoleda/Castanyer/Puigdevall, 2007, 26)





**Figura 7.** Planta de la terrisseria amb la indicació dels seus àmbits, UE, número de forns i les respectives fases cronològiques.



**Figura 8.** Situació dels forns i terrisseries d'època romana a les comarques gironines

1- Forn de can Corominas (Maià de Montcal), 2- Camí de can Miró (Navata), 3- Font Tudana (Creixell-Borrassà), 4- La Bomba (Vilacolum), 5- Mas Castellar (Pontós), 6- Clos Miquel (Sant Miquel de Fluvià), 7- Vilauba (Camós), 8- Bòbila d'Ermedàs (Cornellà de Terri), 9- Camp dels Recs (Bàscara), 10- Camí a la creu d'Albons (Viladamat), 11- Empúries (L'Escala), 12- Palol de Revardit, 13- Camí del Pla (Medinyà), 14- Can Cornellà (Celrà), 15- El Viaró (Rupià), 16- Puig Rodon (Corçà), 17- Llagostera, 18- Llafranc (Palafrugell), 19- Palamós, 20- Collet de Sant Antoni, 21- Pla de Palol (Castell-Platja d'Aro), 22- S'Agaró (Castell-Platja d'Aro), 23- Sa Caleta (Sant Feliu de Guíxols, 24- Solius (Santa Cristina d'Aro), 25- Vinya Badosa (Tossa de Mar), 26- Platja de Fenals (Lloret de Mar).



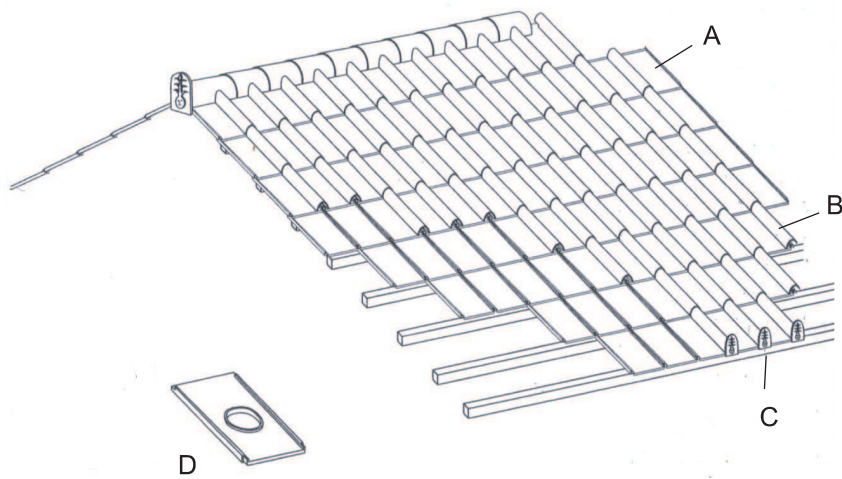
**Figura 10.** Cubeta rectangular a partir d'una solera de *tegulae* formant una bassa de decantació, UE. 104



**Figura 11.** Bipedal usat com a cuina, UE. 235



**Figura 12.** Conjunt de teules planes i corbades a l'entrada del forn 6 formant un espai rectangular que contenia un picadís ceràmic, UE. 64



**Figura 13.** Elements de la coberta

A: *Tegula*

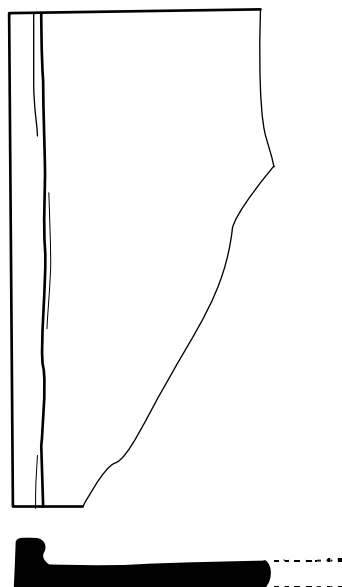
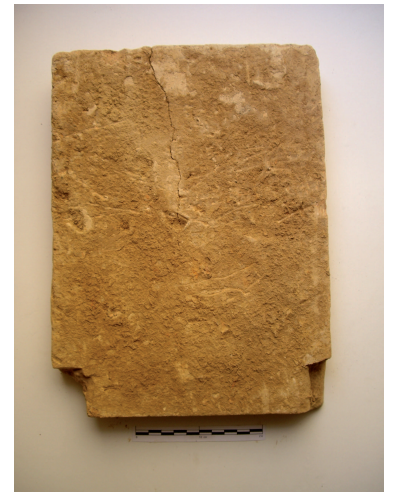
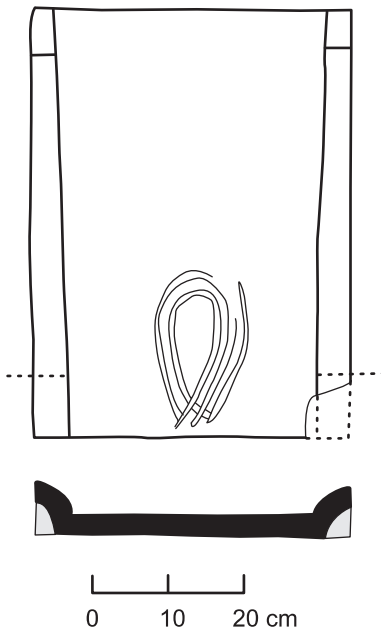
B: *Imbrix*

C: *Antefixa*

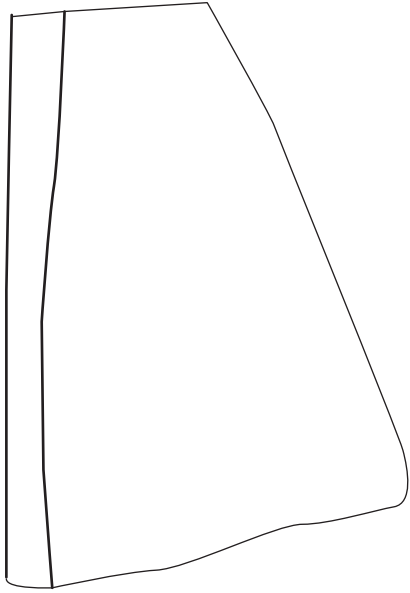
D: *Teula amb opaion*

Dibuix de P. Neury  
(Bessac/Chappelot/De Filippo,  
1990, 101)

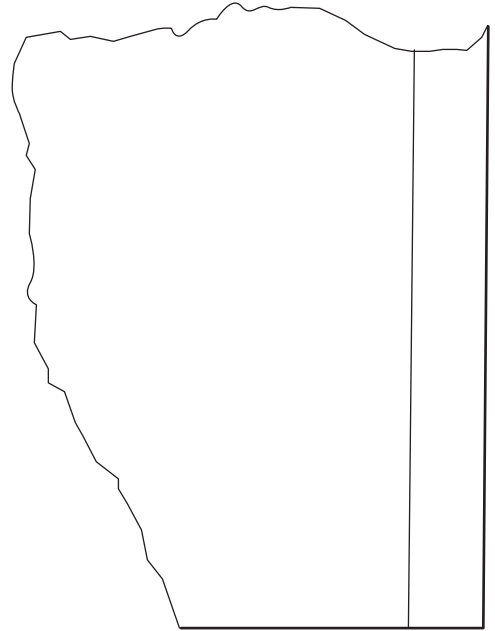
**Figura 14.** Dibuix i fotografies del dret i del revés de la teula trobada a Ermedàs 2A-1336



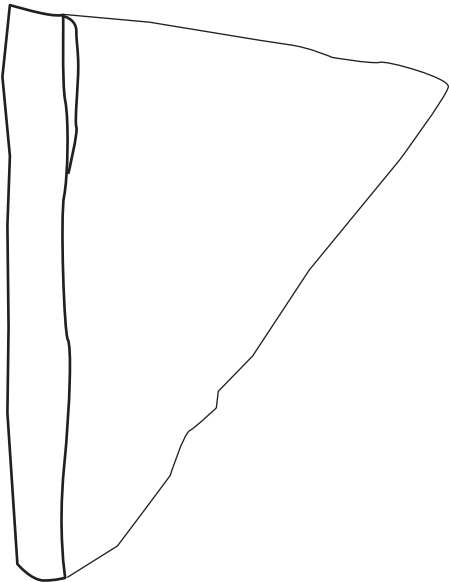
**Figura 15.** Dibuix i fotografia de la Teula de grans dimensions sense encaixos, trobada en el superficial.



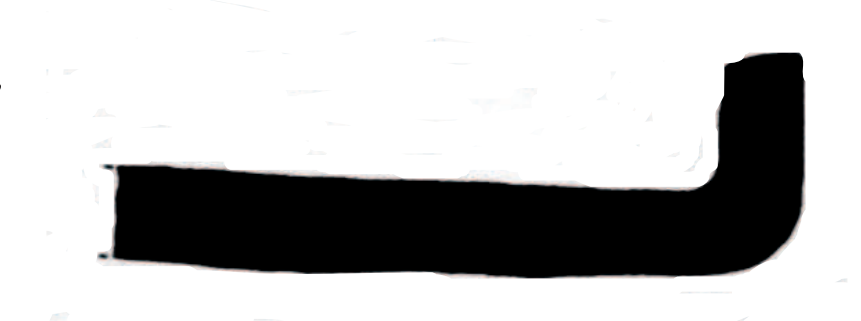
1.



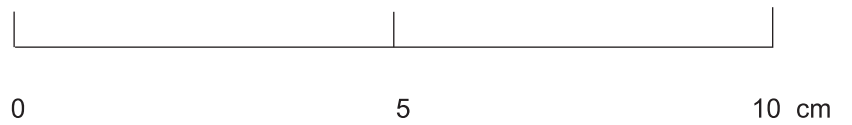
2.



3.



4.

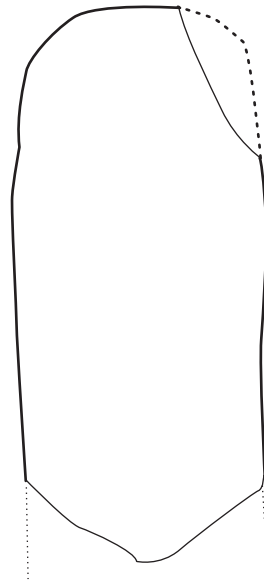


**Figura 16.** Teules de petites dimensions:  
1. 08-ER-86-10; 2. 99-ER-H10; 3. 02-ER-60-25; 4. Teula procedent de Vilauba 19-V-16-929

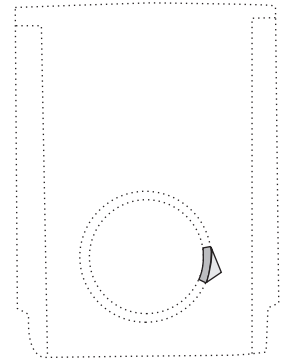
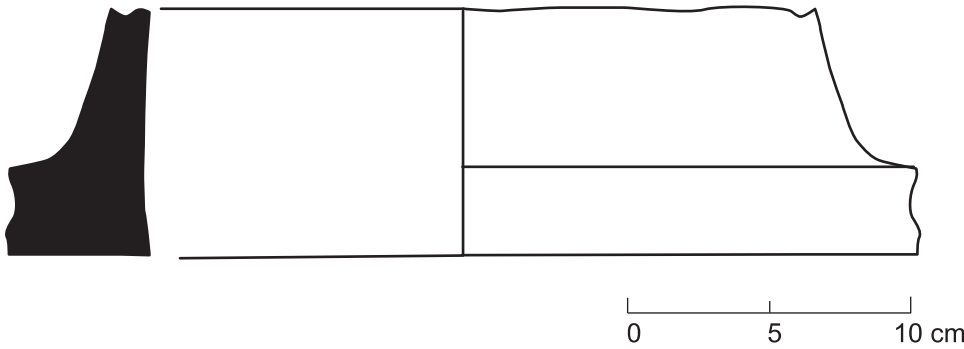
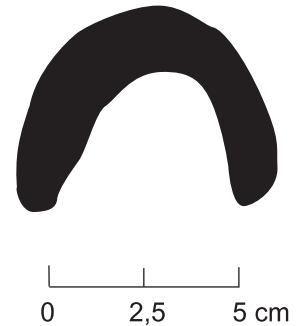




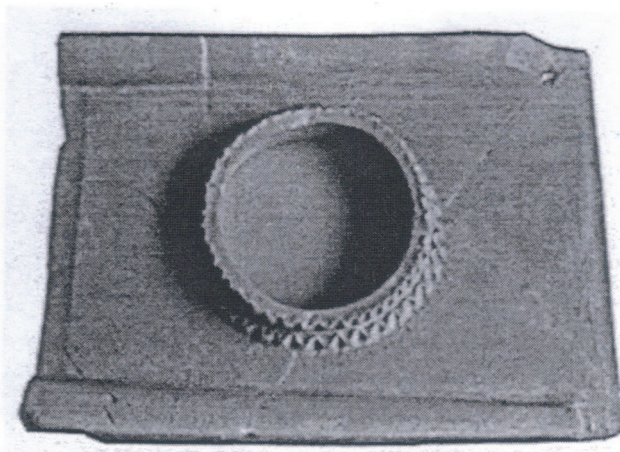
**Figura 17.** *Imbrices* trobades a l'excavació



**Figura 18.** *Imbrex* de petites dimensions. 07-ER-86-4



**Figura 19.** Fragment de teula *opaion*, 06-ER-86-23 i restitució de la seva localització a la teula.



**Figura 20.** Teula amb *opaion* procedent d'Empúries (Tremoleda 2000, 197)



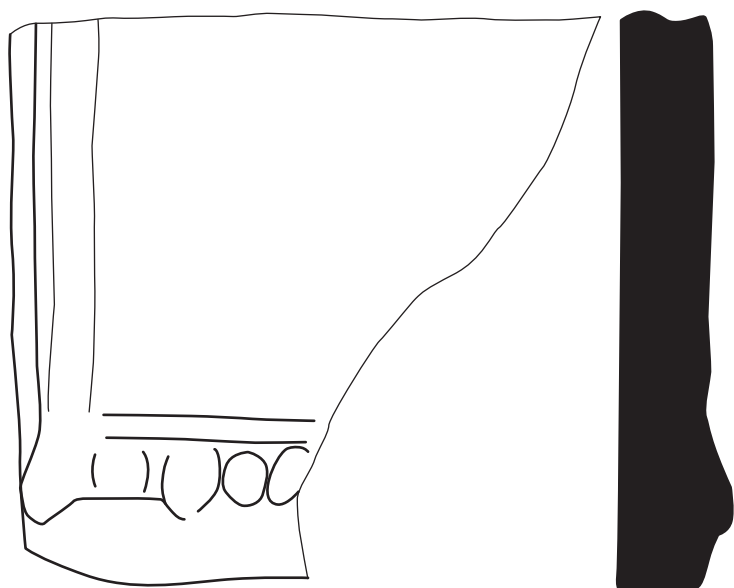
**Figura 21.** Teula amb *opaion* procedent de la vil·la de Tolegassos a partir d'una reconstrucció d'una part de la teulada amb les diferents teules (Casas et al. 1995, 73)



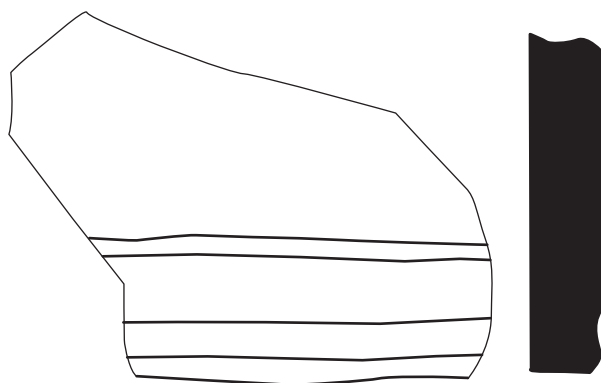
1.



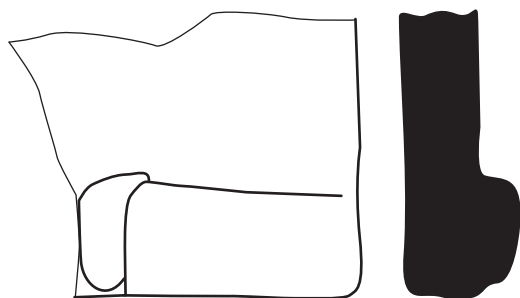
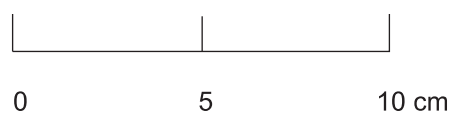
2.



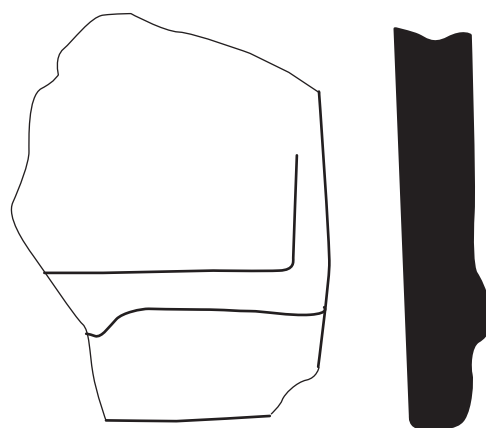
3.



4.



5.

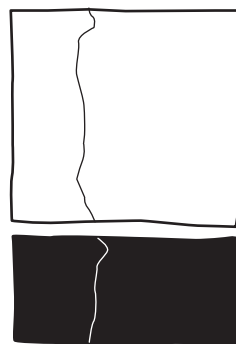


6.

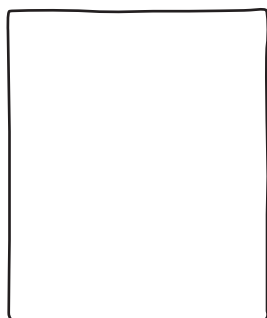
**Figura 22.** Plaques de revestiment o lastres. 1. 06-ER-169-31; 2. 07-ER-196-5; 3. 08-ER-86-7; 4. 08-ER-86-11; 5. 08-ER-86-15; 6. 08-ER-86-16



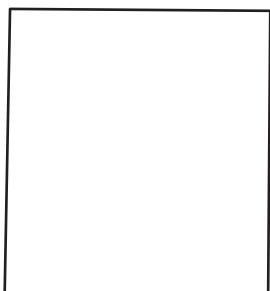
**Figura 24.** Rajols rectangulars de base quadrada. 1. 06-ER-86-27; 2. 08-ER-86-17



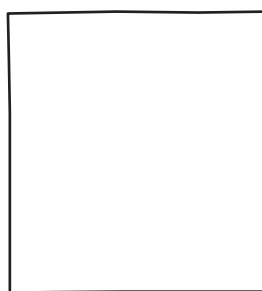
**Figura 25.** Rajol de 1/2 peu, 00-ER-4-26



1.



2.

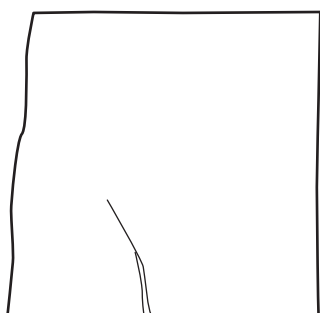


3.

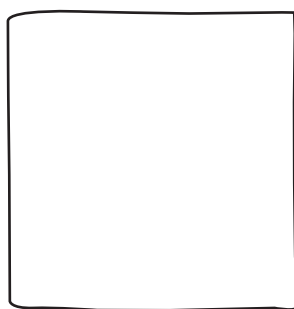
**Figura 26.** Rajol rectangular de 2/3 de peu.

1. 00-ER-9-2;  
2. 00-ER-4-22;  
3. 00-ER-4-23

0 10 20 cm

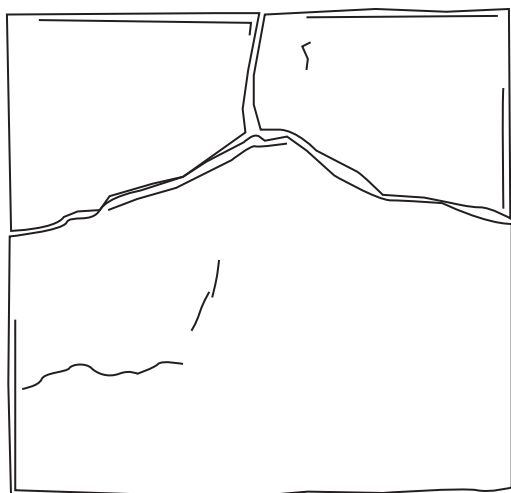


1.



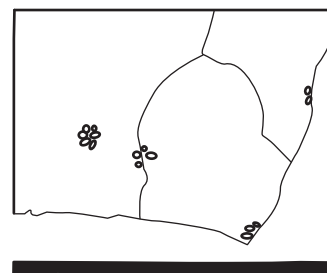
2.

**Figura 27.** Rajol quadrat de 2/3 de peu o bessale. 1. 00-ER-?; 2. 07-ER-257-1

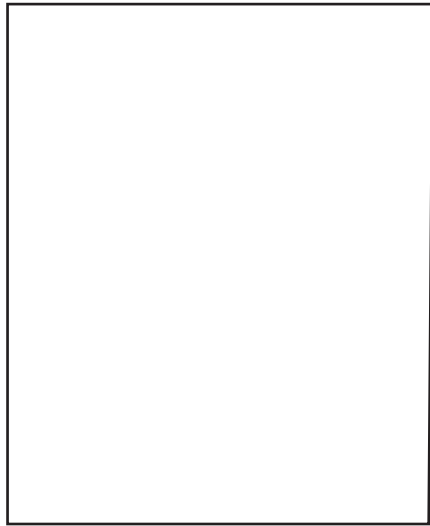


**Figura 28.** Bipedal *in situ*, 08-ER-235

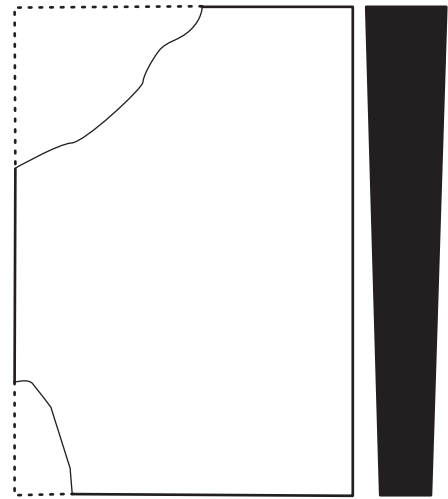
**Figura 29.** Rajol quadrat o rectangular prim, 02-ER-60-27



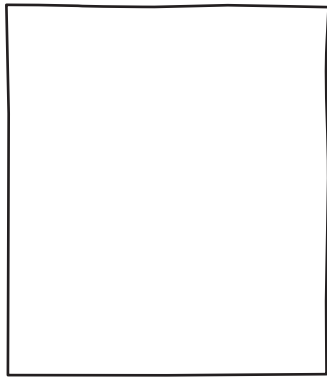
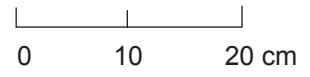
0 25 50 cm



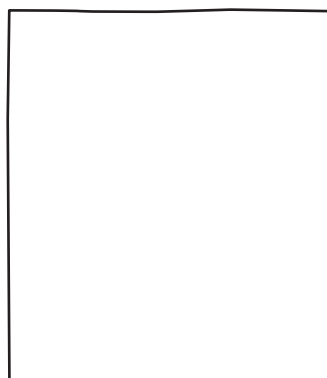
1.



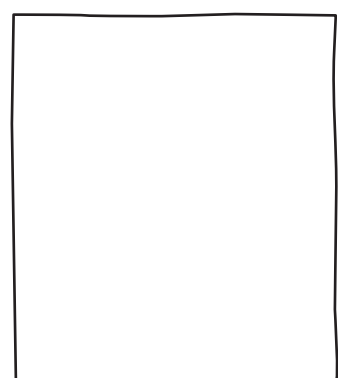
2.



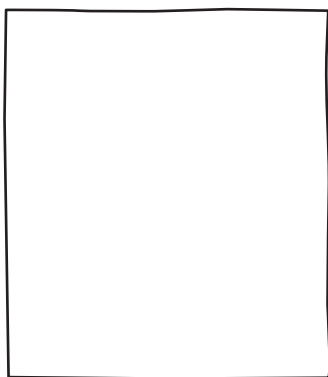
3.



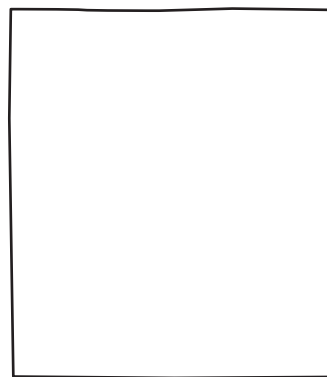
4.



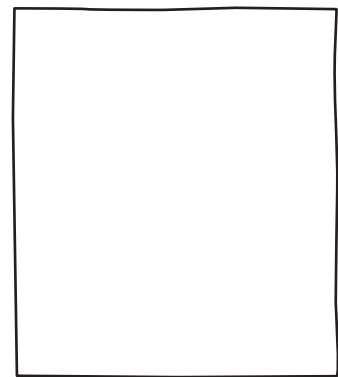
5.



6.

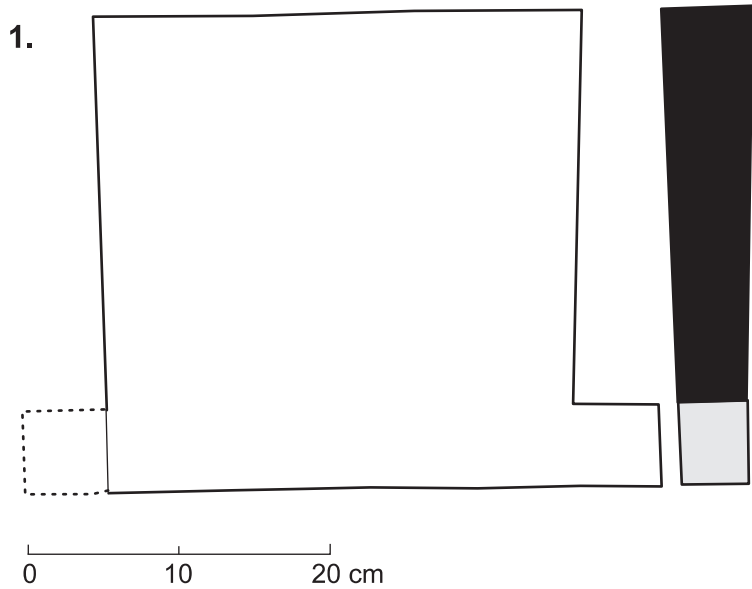


7.

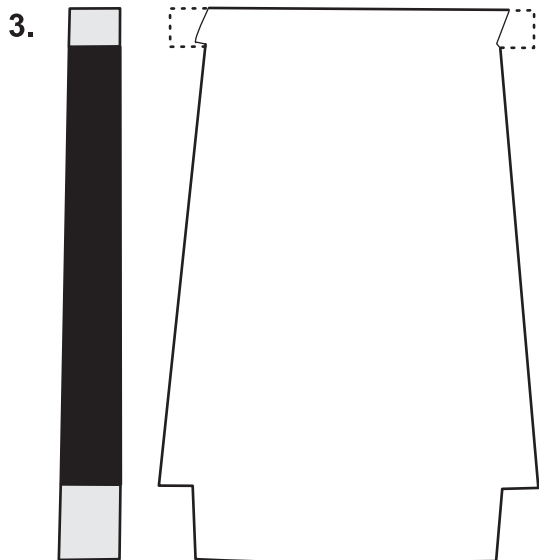
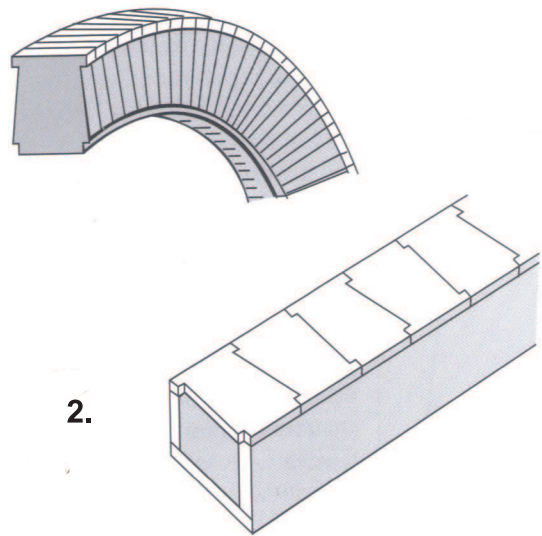
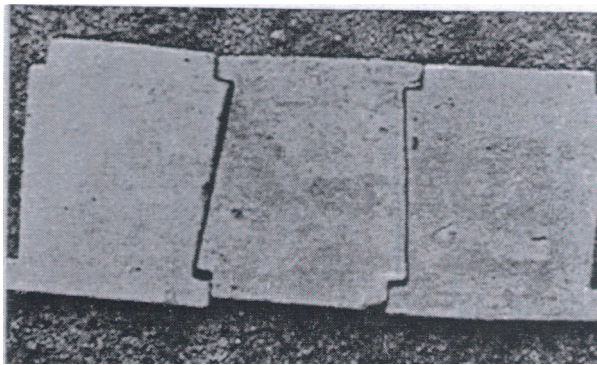


8.

**Figura 30.** Rajol bisellat. 1. Referència a J. Tremoleda, 2000, 179; 2. 08-ER-86-5; 3-8. 2A-1328 a 2A-1334



**Figura 31.** Rajol bisellat amb encaix positiu. 1. 06-ER-86-24; 2. Rajol documentat a l'excavació



**Figura 32.** Rajols amb encaixos positius i negatius.

1. Rajols procedents de Llafranc juxtaposats (Tremoleda, 2000)
2. Proposta d'ús d'aquests rajols en una volta i com a tapa de canal (Barti/Plana/Tremoleda, 2004, 131)
3. Rajol procedent d'Ermedàs 06-ER-86-25
4. Fragment de rajol 00-ER-4-27

0 10 20 cm



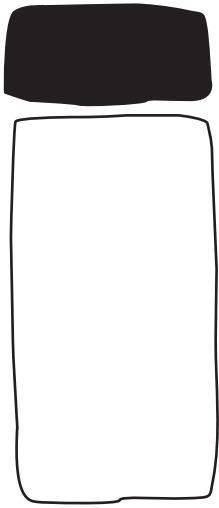


1.

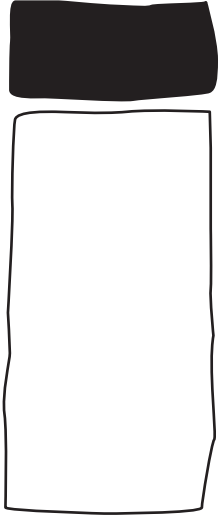


2.

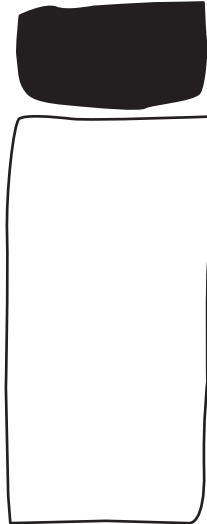
**Figura 33.** Llosetes en la formació d'*opus spicatum*. 1. Mur d'*opus spicatum* del segle V dC trobat al carrer Mirepoix de Toulouse (De Filippo, 1999, 257). 2. Representació d'un paviment en *spicatum* a partir de les 14 llosetes trobades a la UE 48 d'Ermedàs.



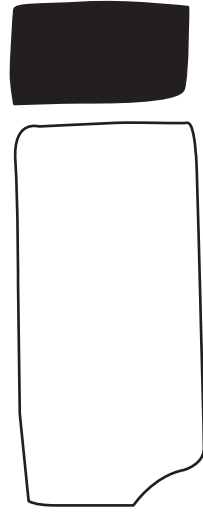
1.



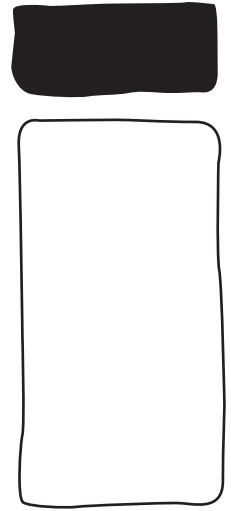
2.



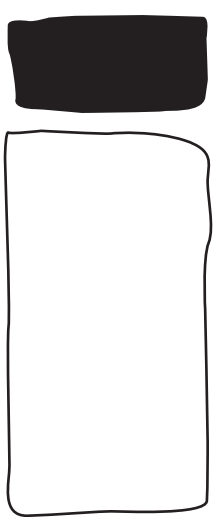
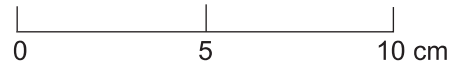
3.



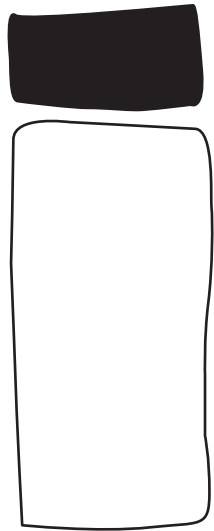
4.



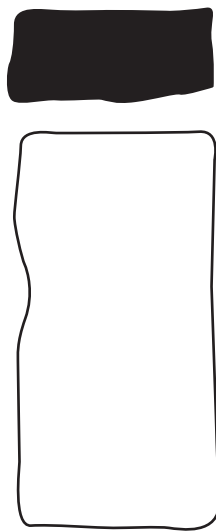
5.



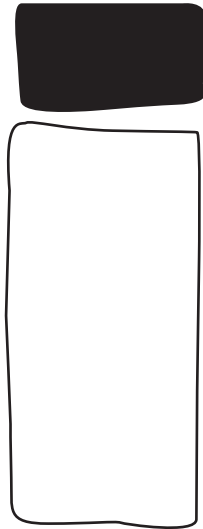
6.



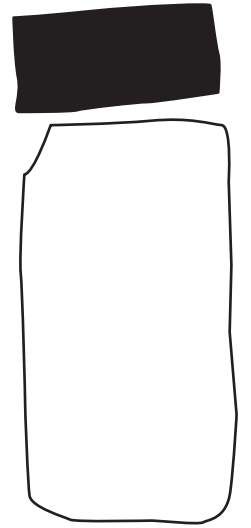
7.



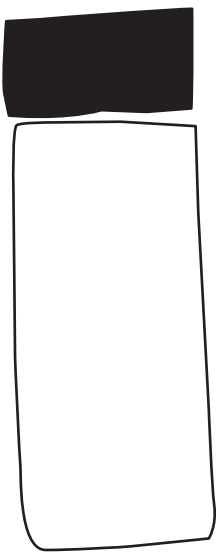
8.



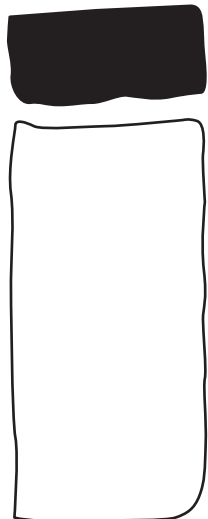
9.



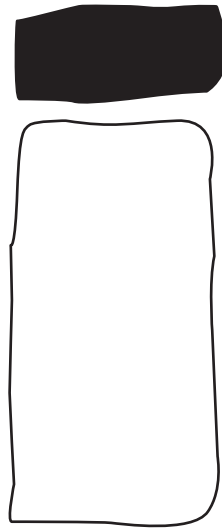
10.



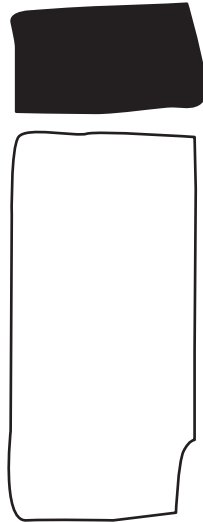
11.



12.

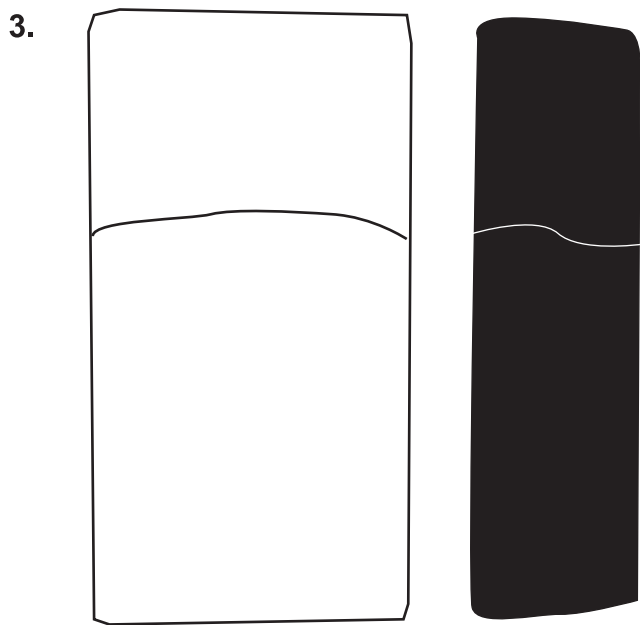
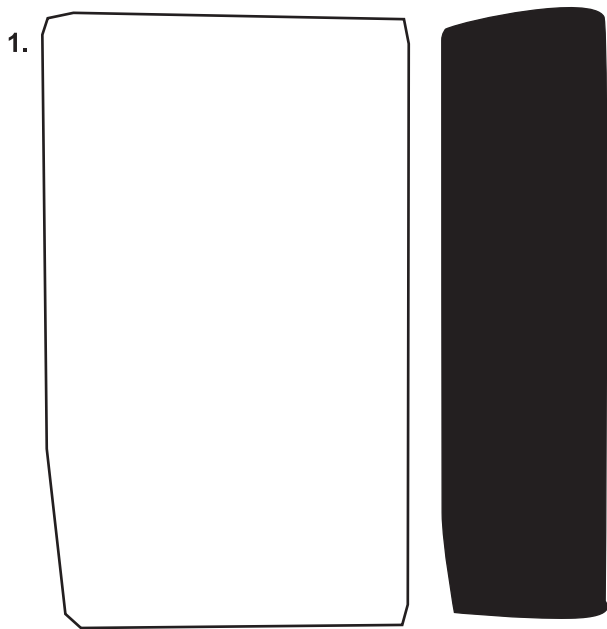


13.

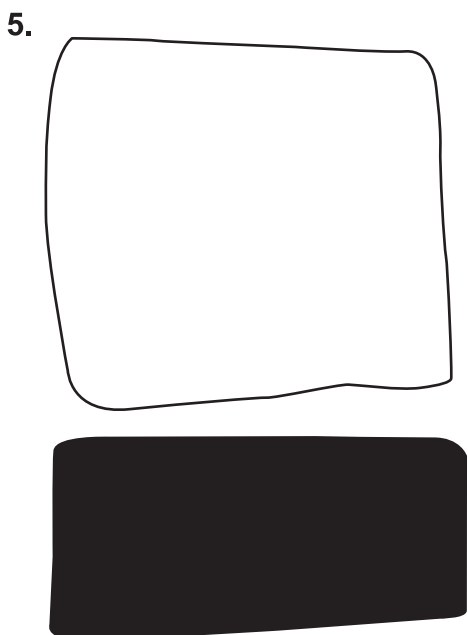


14.

**Figura 34.** Llosetes trobades a la UE 48 per a formar paviments d'*opus spicatum*, de 1-14, 02-ER-48-1 a

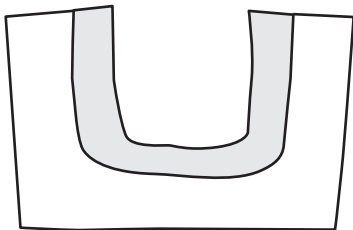
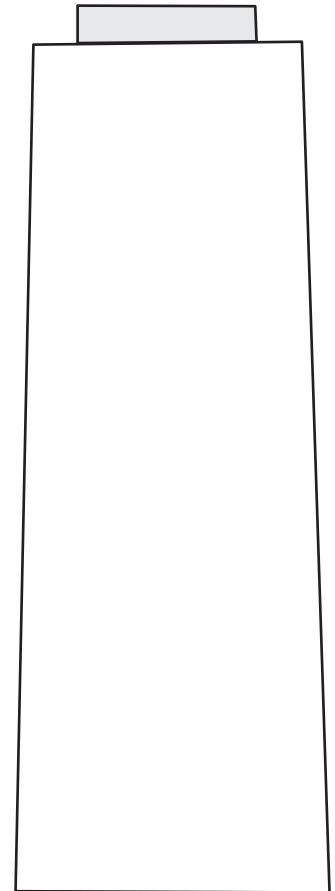
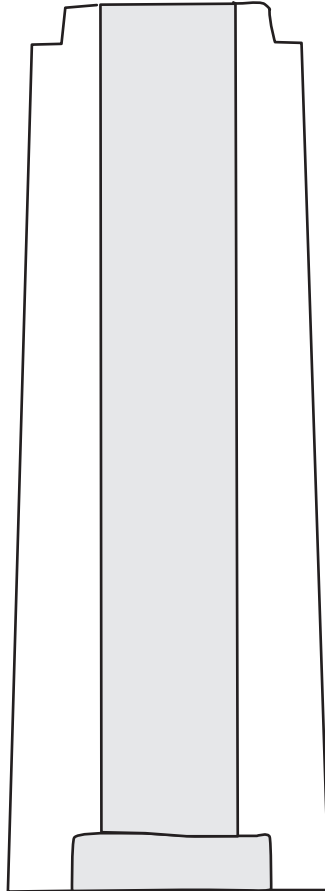
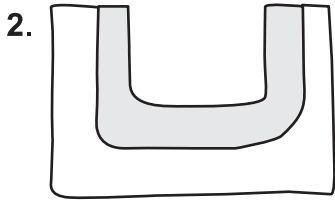
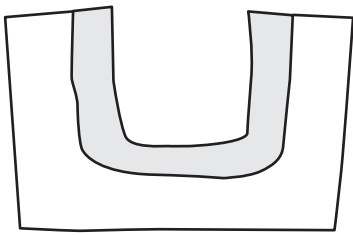
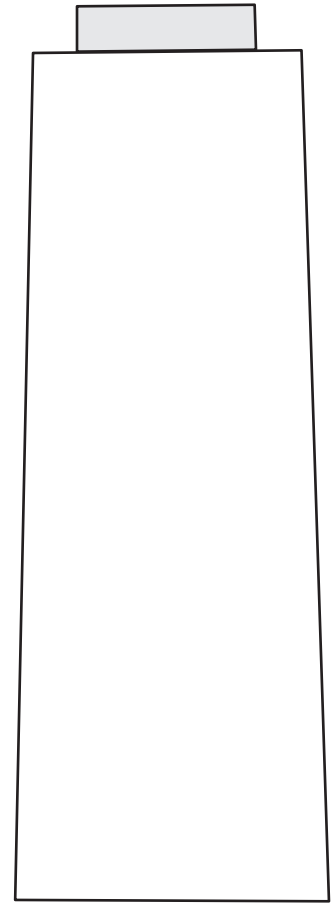
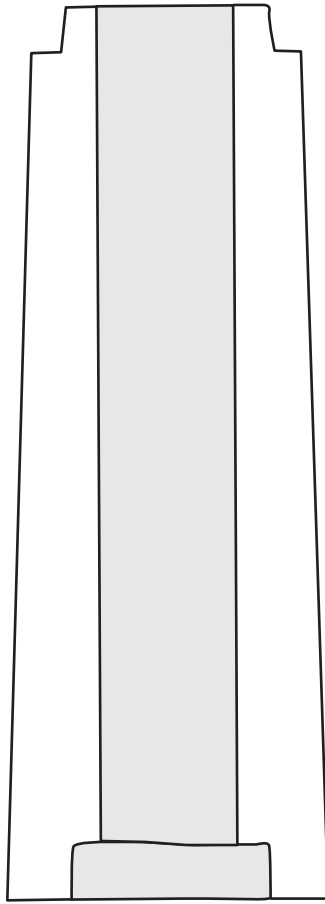
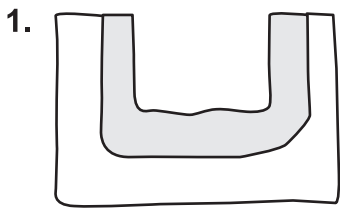


0 2 4 cm



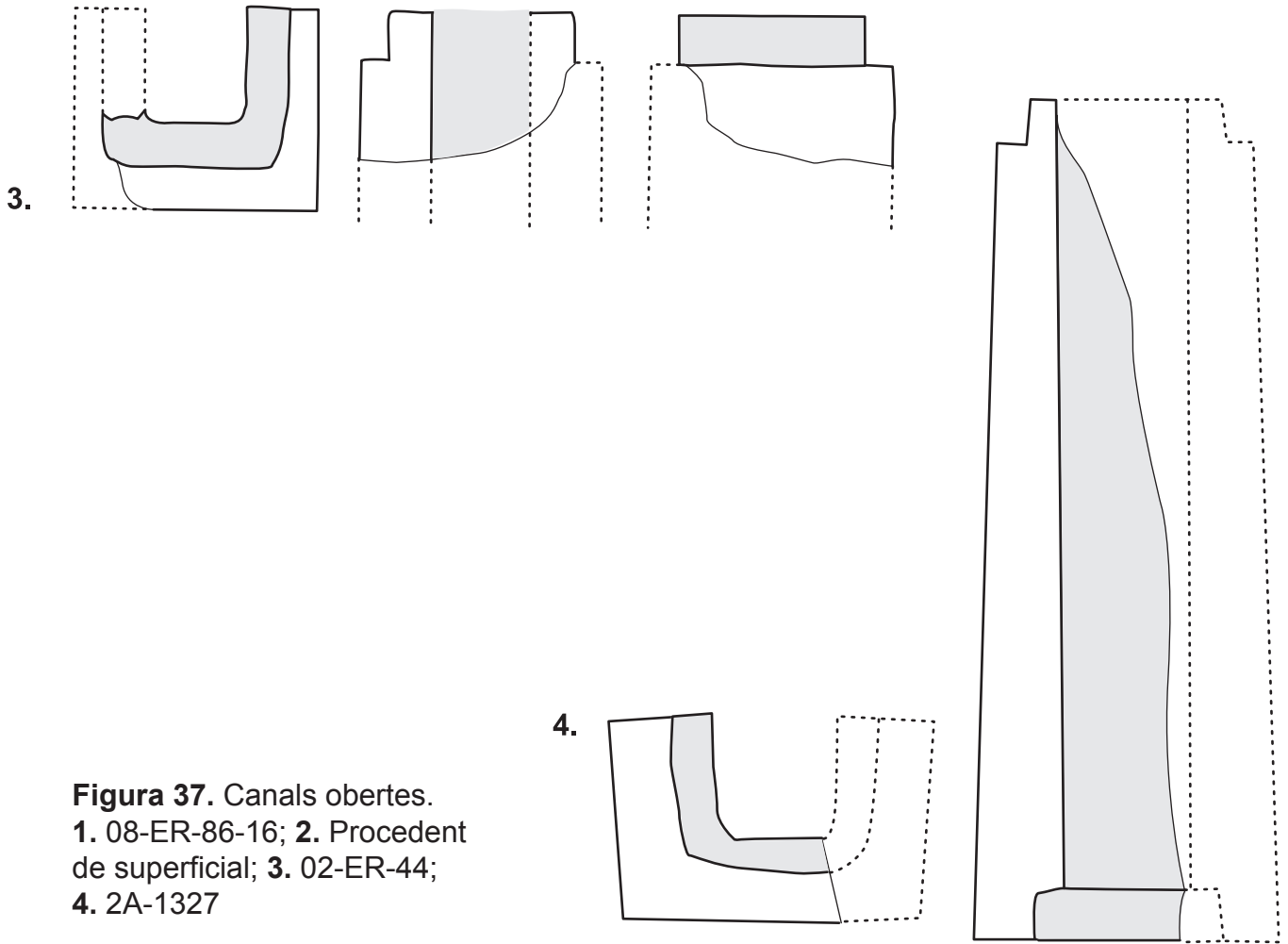
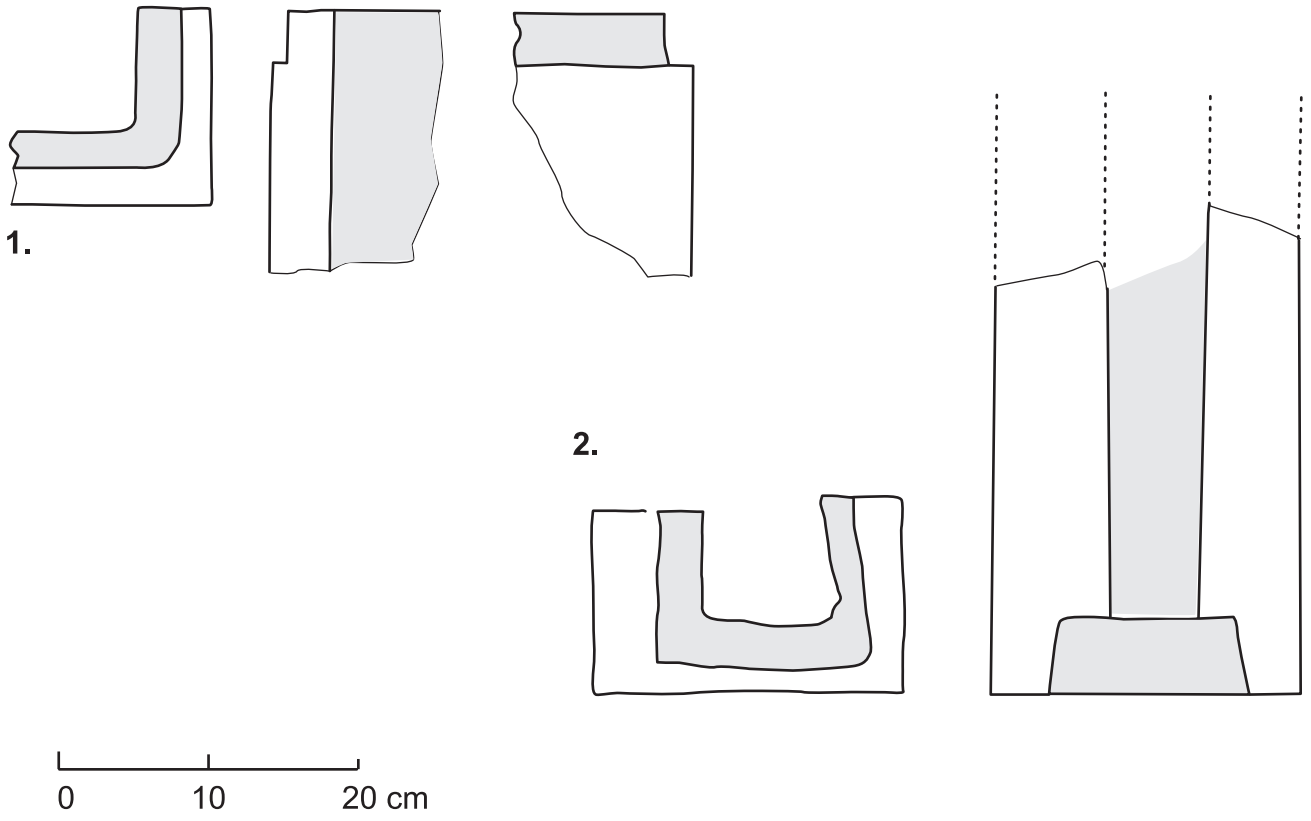
**Figura 35.** Llosetes amb restes de pintura vermella.  
**1-2.** Dibuix i fotografia de la lloseta 06-ER-86-19;  
**3-4.** Dibuix i fotografia de la lloseta 06-ER-86-20;  
**5-6.** Dibuix i fotografia de la lloseta 08-ER-86-9.





**Figura 36.** Canals obertes. 1. 2A-1316; 2. 2A-1326

0 10 20 cm



**Figura 37.** Canals obertes.  
 1. 08-ER-86-16; 2. Procedent de superficial; 3. 02-ER-44; 4. 2A-1327



**Figura 38.** Canalitzacions trobades a Efes (Ginouvés/Martin, 1992, làmina 88)

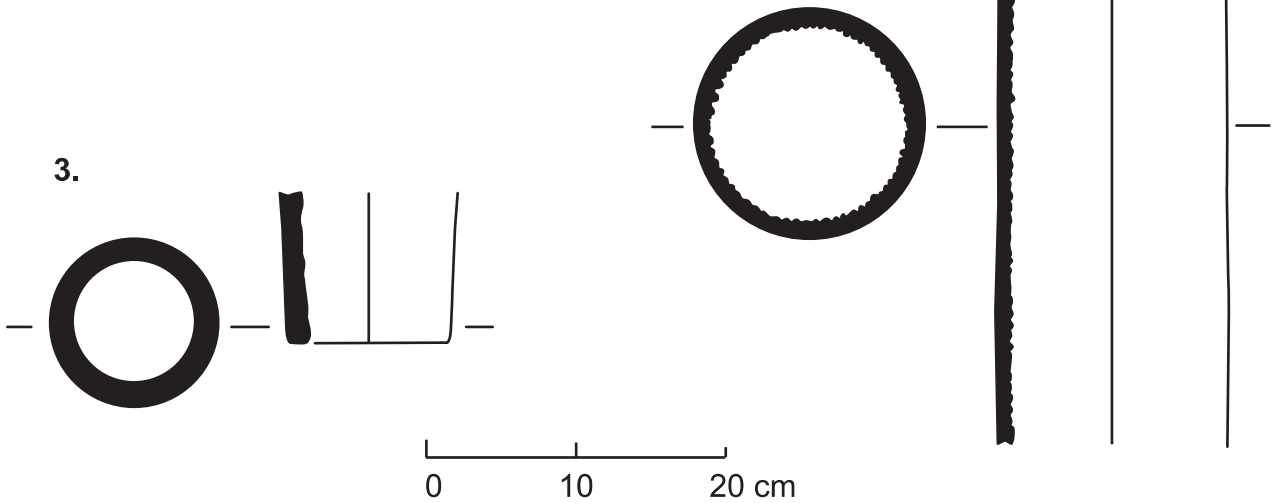


**Figura 39.** Canalitzacions obertes.  
 1. Canal trobada a Ermedàs durant l'excavació;  
 2. Encaix de canal 08-ER-86-19;  
 3. Canal 03-ER-86-225

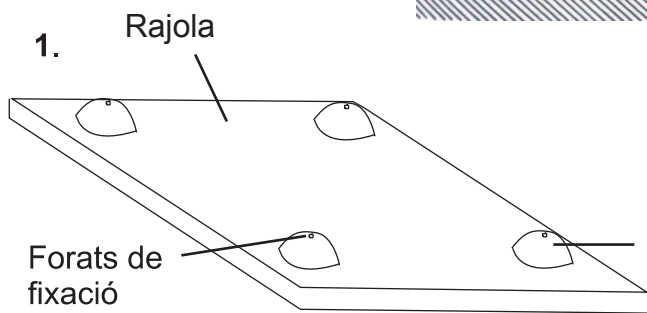
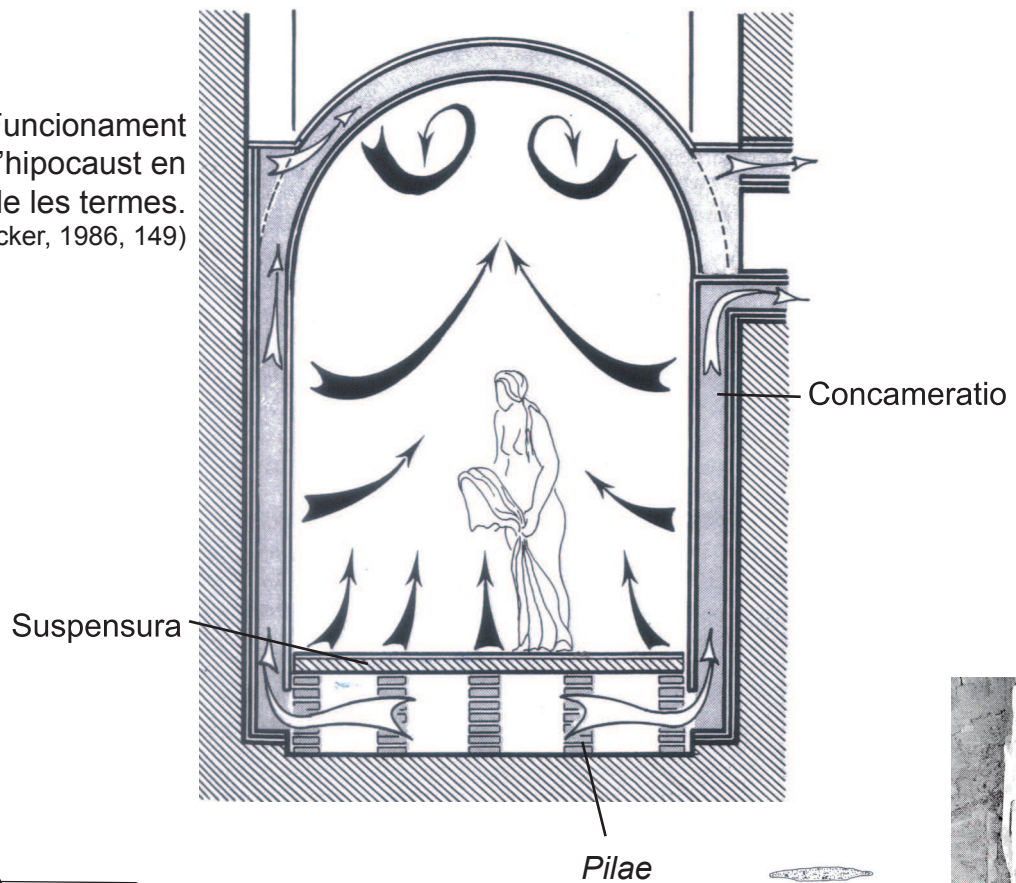
1.

3.

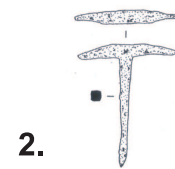
2.



**Figura 40.** Funcionament del sistema d'hipocaust en l'escalfament de les termes.  
(Fincker, 1986, 149)

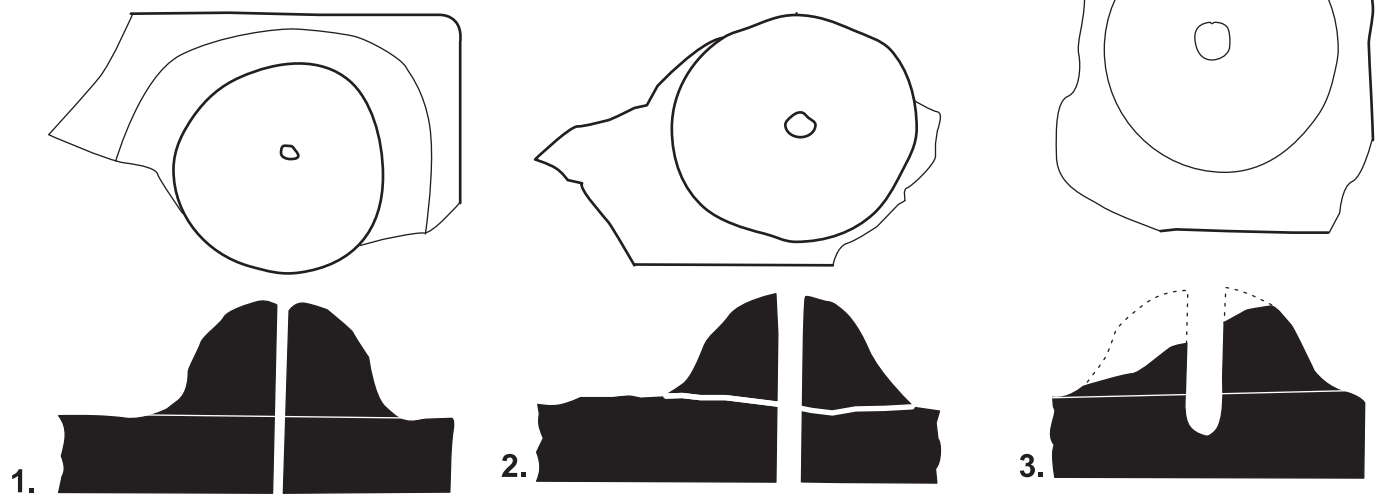


Pilae



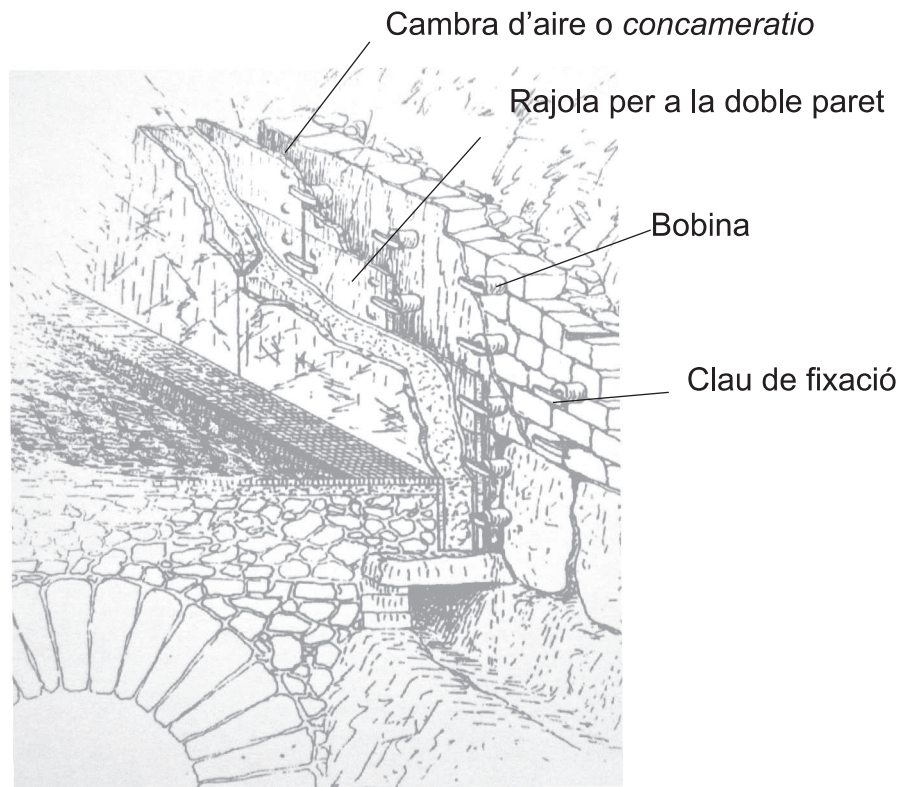
**Figura 41.** Les teules *mammatae*. 1. Parts d'una teula *mammatae*; 2. Clau en forma de T per a la fixació d'una doble paret de les termes de Gaujac, Saint-Vincent (Bouet, 1999, 14); 3. Teula *mammatae* trobada in situ a la casa de Julia Felix de Pompeia (Ginouvès/Martin, 1992, làmina 89)

0 5 10 cm

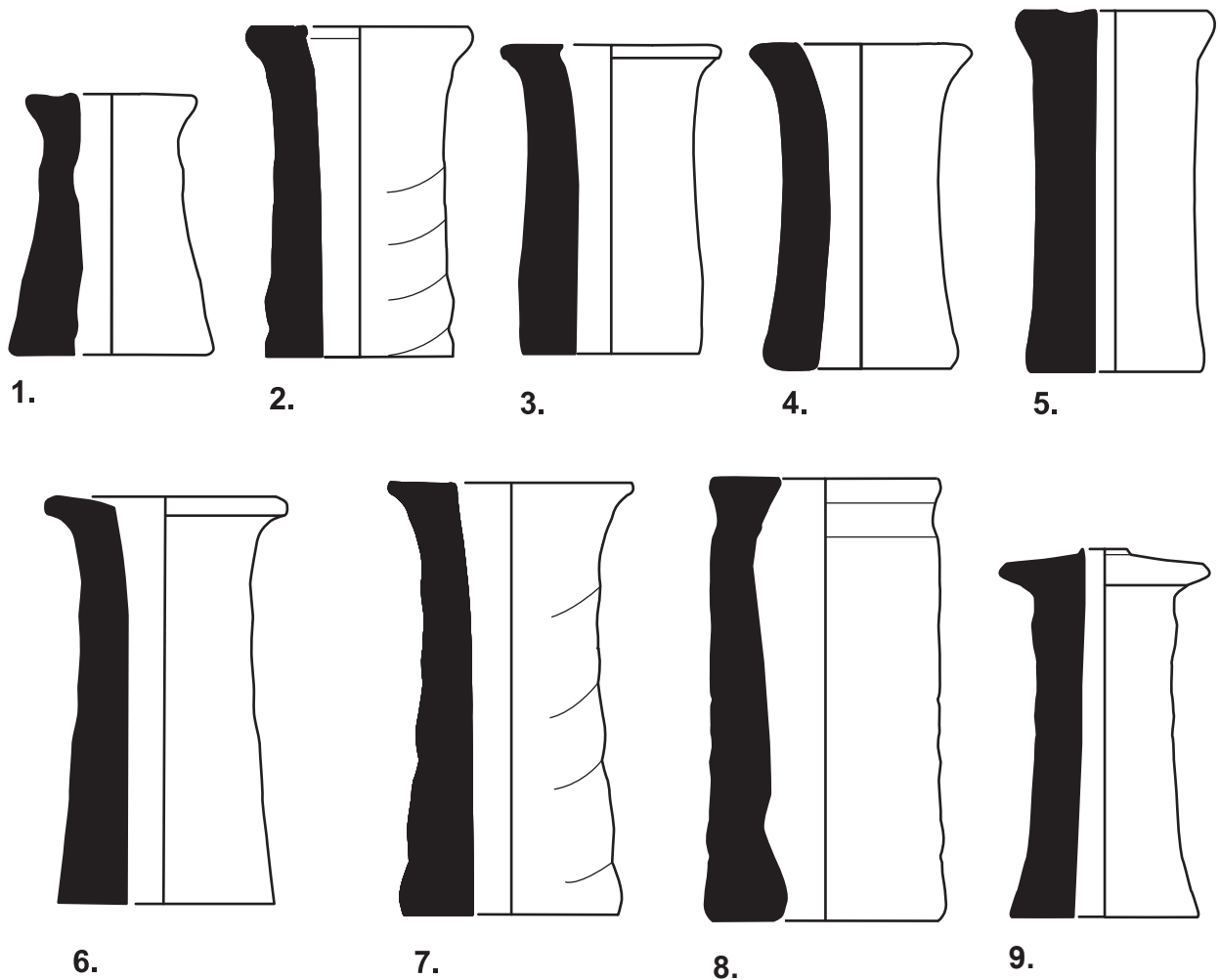


**Figura 42.** Fragments de teules *mammatae* d'Ermedàs. 1. 02-ER-60-26; 2. 02-ER-115-89; 3. 99-ER-117

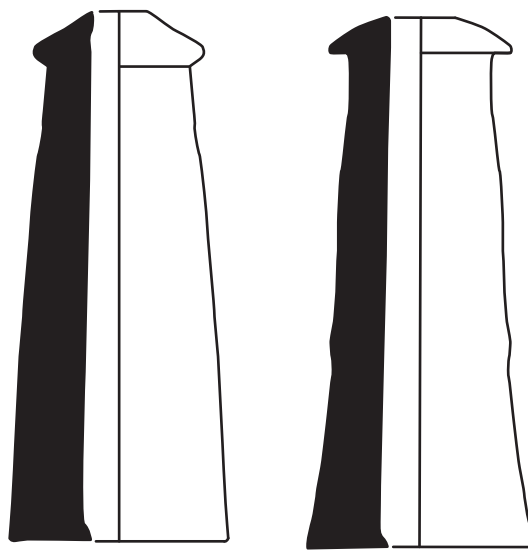
**Figura 43.** Esquema del sistema d'hipocaust amb *concameratio* a partir de bobines. Dibuix de Lancha, 1981 (Bouet, 1999, 26)



0 5 10 cm



**Figura 44.** Bobines del tipus I trobades a Ermedàs. Del tipus A: 1. 06-ER-86-3; 2. 99-ER-4-16; 3. 04-ER-102-79; 4. 99-ER-4-17; 5. 06-ER-86-2; 6. 04-ER-102-77; 7. 04-ER-102-78; del tipus B: 8. 03-ER-86-216; del tipus C: 9. 01-ER-18-133.



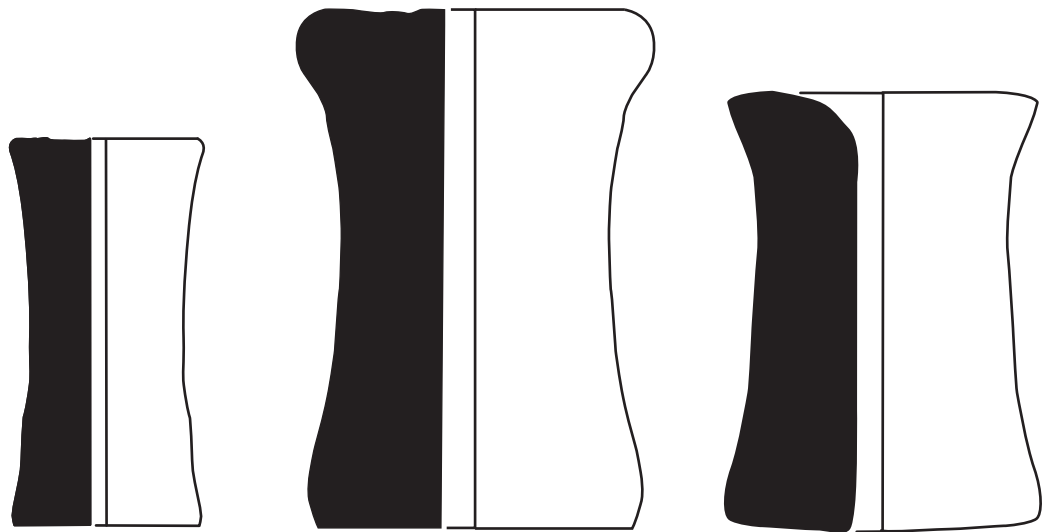
**Figura 45.** Bobines del tipus II.  
 1. 02-ER-48-214;  
 2. 02-ER-48-215

0 5 10 cm

1.

2.

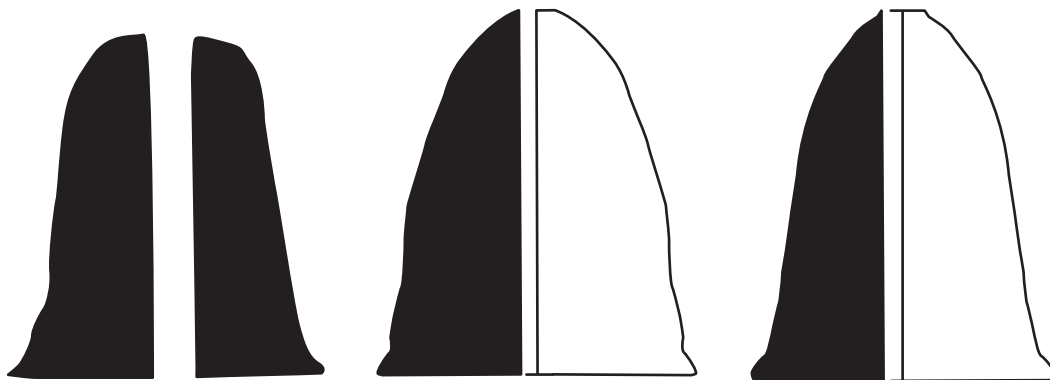
**Figura 46.** Bobines del tipus IV. 1. 06-ER-86-1;  
 2. 01-ER-18-134;  
 3. 04-ER-136-90



1.

2.

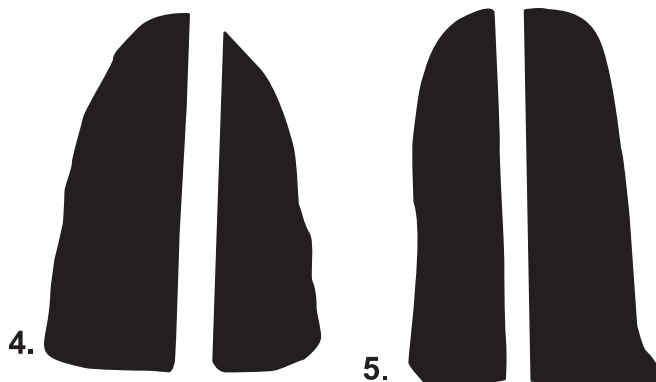
3.



1.

2.

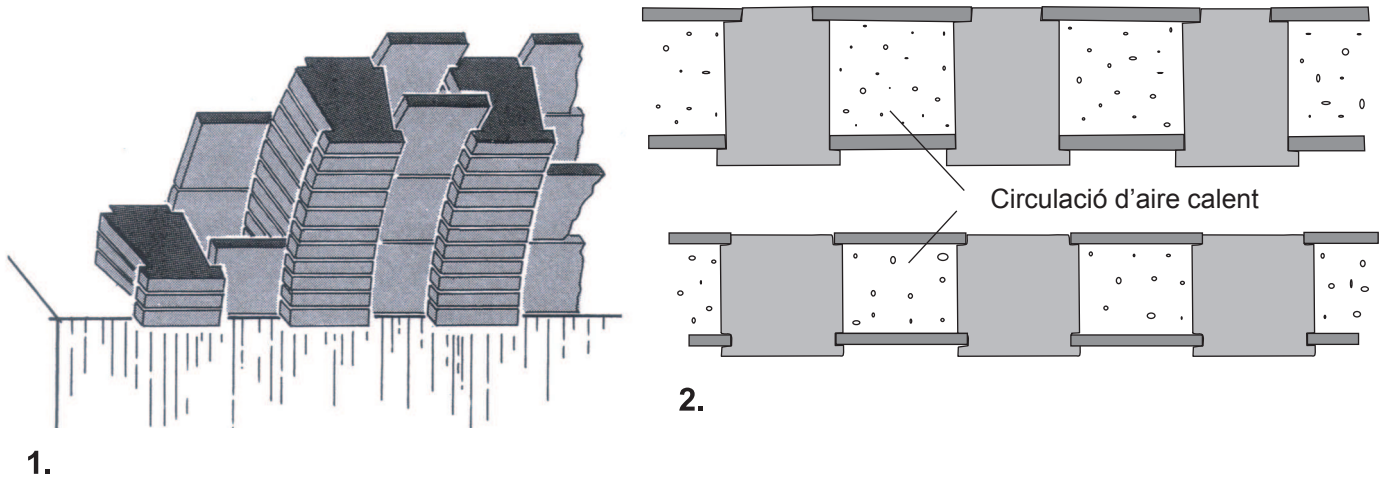
3.



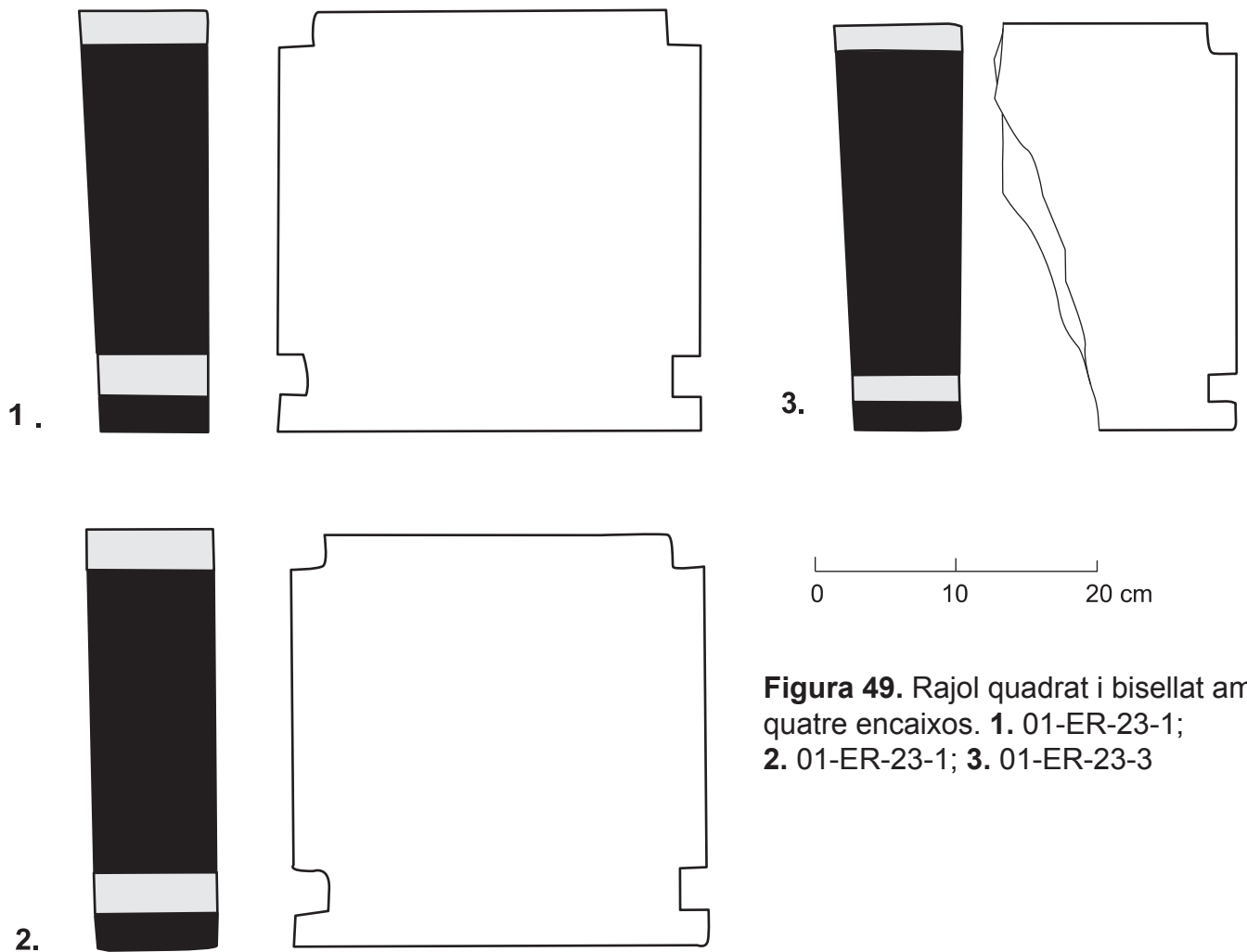
4.

5.

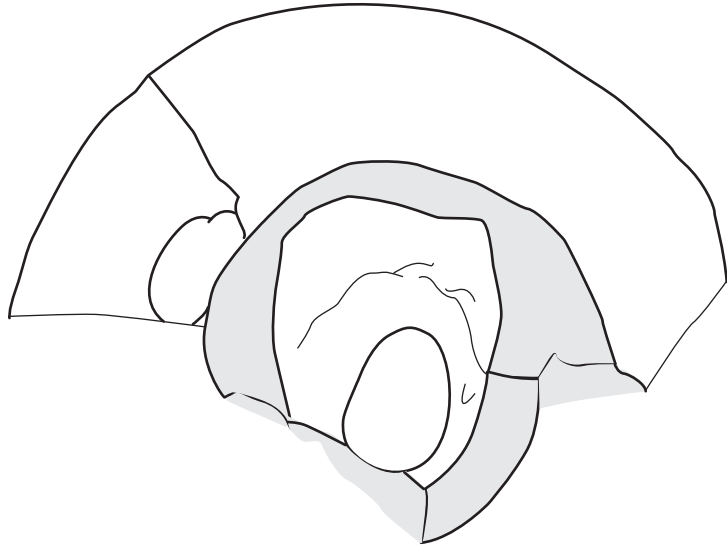
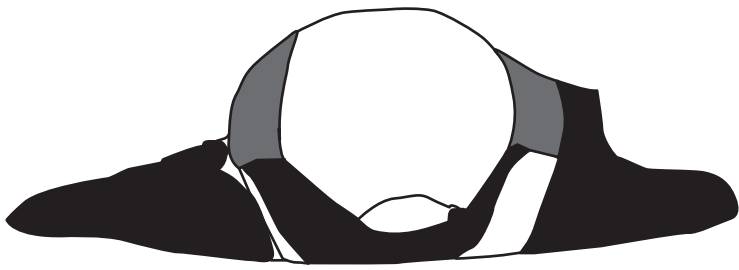
**Figura 47.** Bobines del tipus V.  
 1. 04-ER-115-332;  
 2. 08-ER-86-1;  
 3. 07-ER-86-1;  
 4. 99-ER-76;  
 5. 2A-281



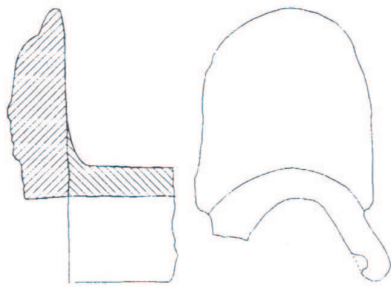
**Figura 48.** Voltes a partir de rajols amb encaixos que permeten la circulació d'aire calent.  
 1. Dibuix que restitueix una volta de terma a partir de rajols amb encaixos (Fincker, 1986,147).  
 2. Secció de dos tipus de voltes que permeten la circulació d'aire calent.



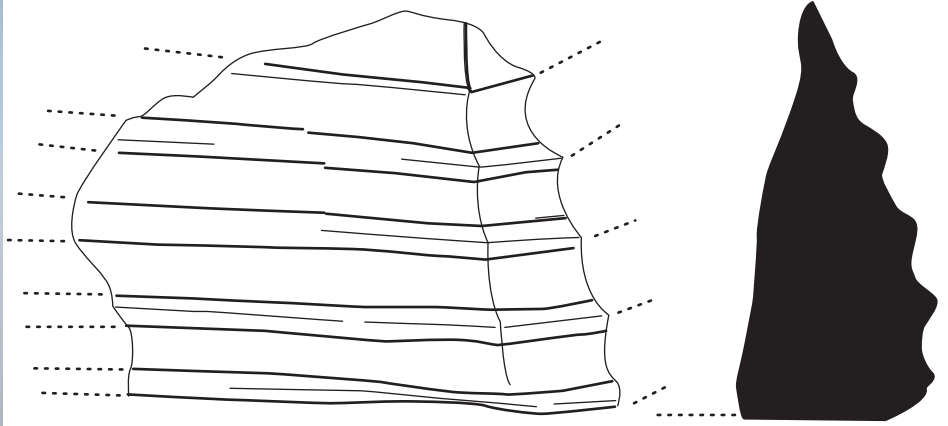
**Figura 49.** Rajol quadrat i bisellat amb quatre encaixos. 1. 01-ER-23-1; 2. 01-ER-23-1; 3. 01-ER-23-3



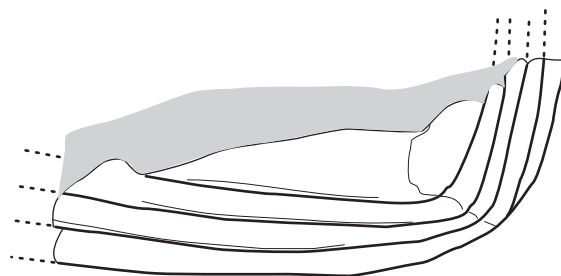
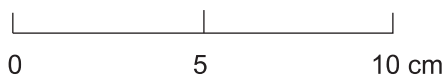
**Figura 50.** Dibuix i fotografies d'un possible antefixa, 01-ER-18-136



**Figura 51.** Antefixa encavalcada sobre una *imbrex* (Ramos, 1999, 223)



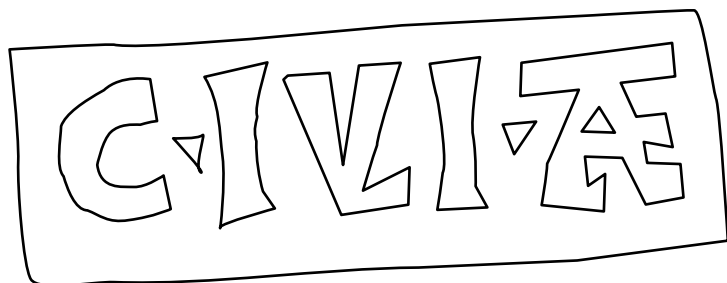
**Figura 52.** Fotografia i dibuixos d'un possible basament, 01-ER-18-140



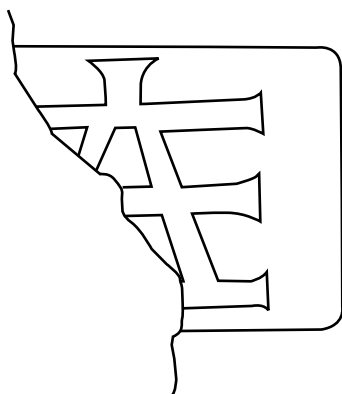


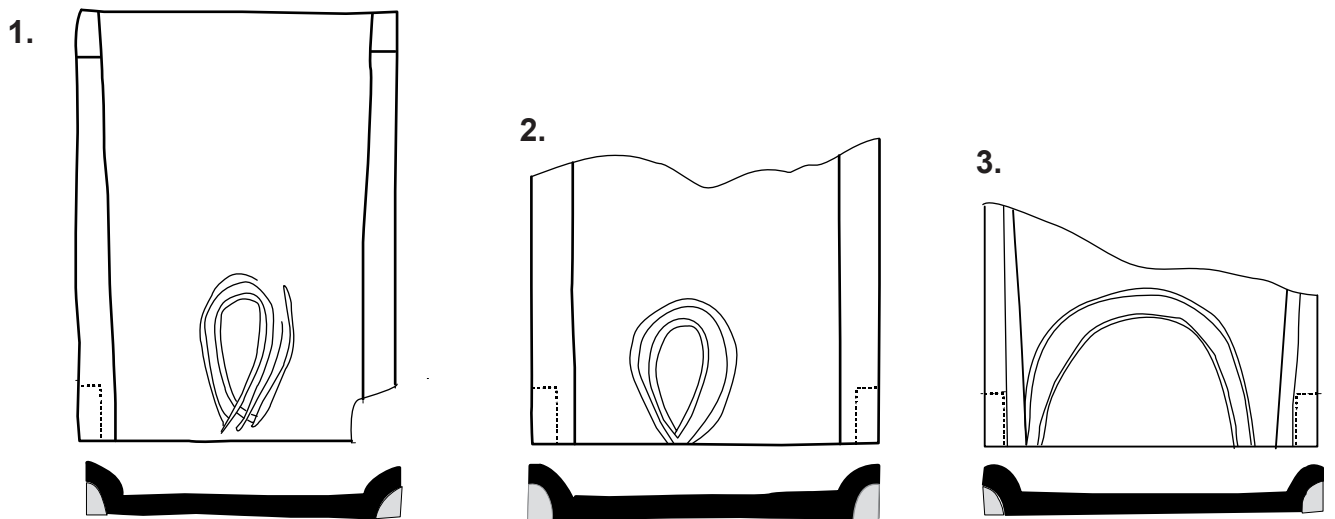


**Figura 53.** Segell sobre *tegula* 99-ER-18

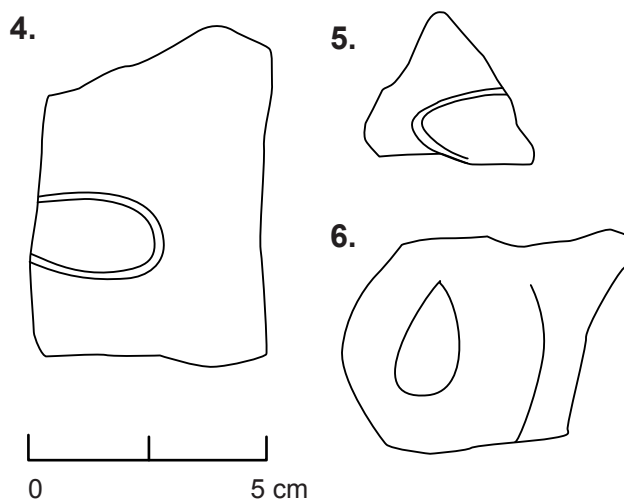


**Figura 54.** Segell sobre *tegula* 07-ER-196-6



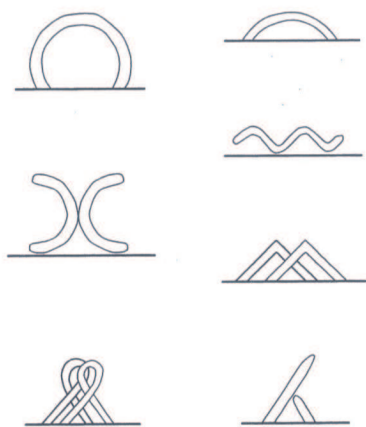


0 25 50 cm



0 5 cm

**Figura 55.** Marques decoratives sobre teula. **1.** traça digital en forma de llàgrima a partir de tres dits 2A-1336; **2.** traça digital en forma de llàgrima a partir de dos dits 2A-1335; **3.** traça digital a partir de dos dits en forma semi-circular, trobada en superfície; **4.** traça de forma ovalada a partir d'un punxó 08-ER-86-13; **5.** traça de forma ovalada a partir d'un punxó 08-ER-86-12; **6.** traça en forma de llàgrima a partir d'un punxó rodejada d'un cercle digital 02-ER-9.



**Figura 56.** Recull de les traces digitals més corrents al llarg de l'Imperi (Bessac/Chapelot/De Filippo, 1999)

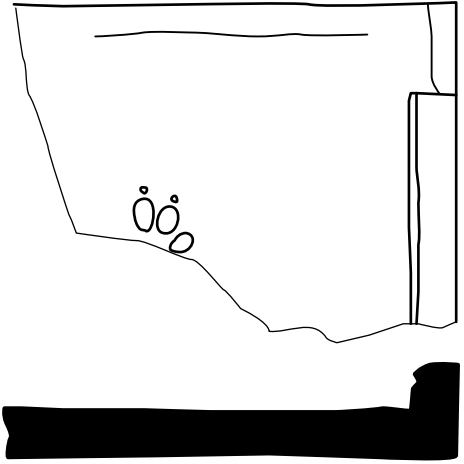
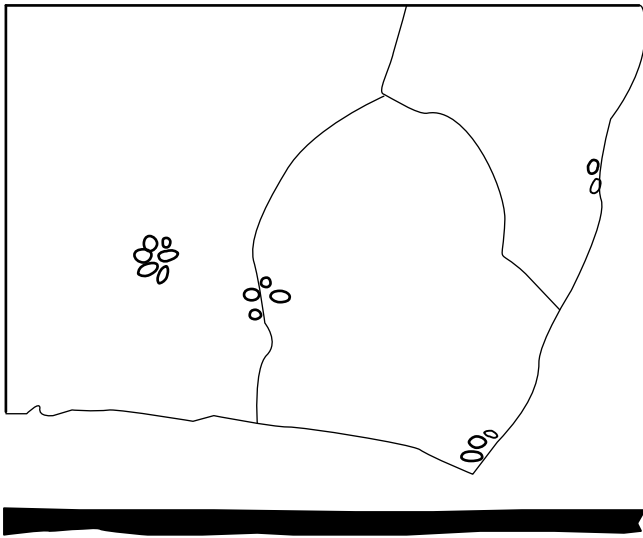
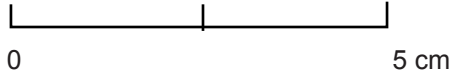
1.



2.

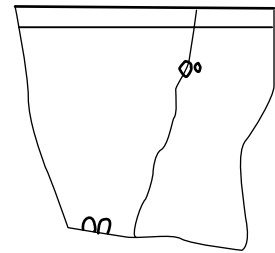
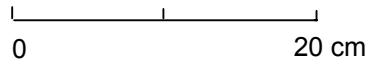


**Figura 57.** Petjades d'animals. 1. Petjada de gat domèstic (3,5 cm de llarg); 2. Petjada de gos 6 x 5 cm.

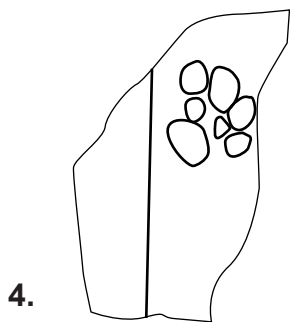


2.

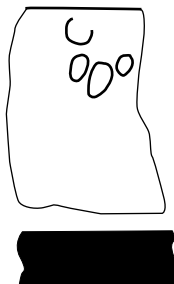
1.



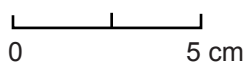
3.



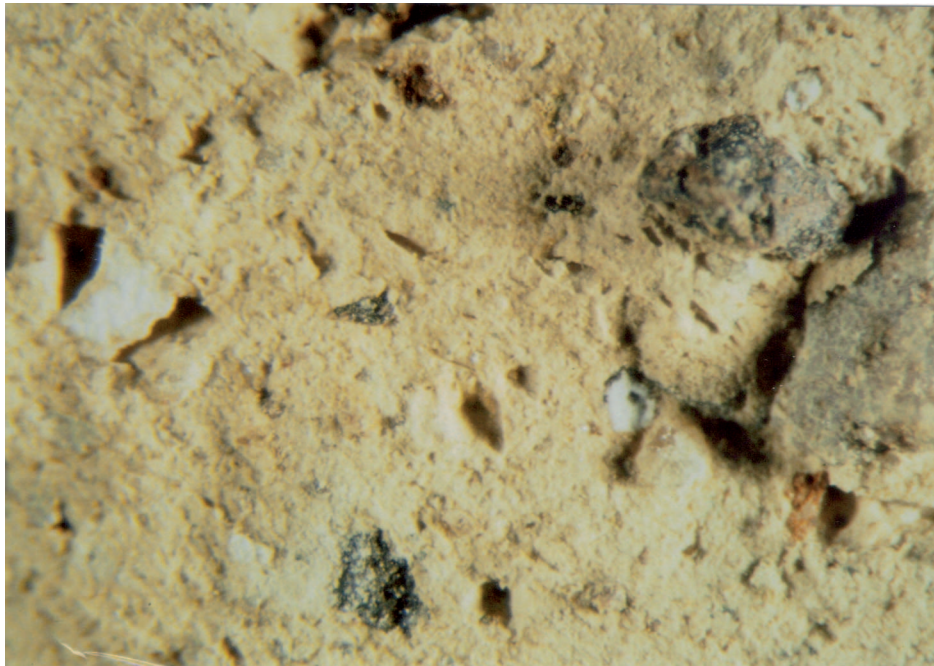
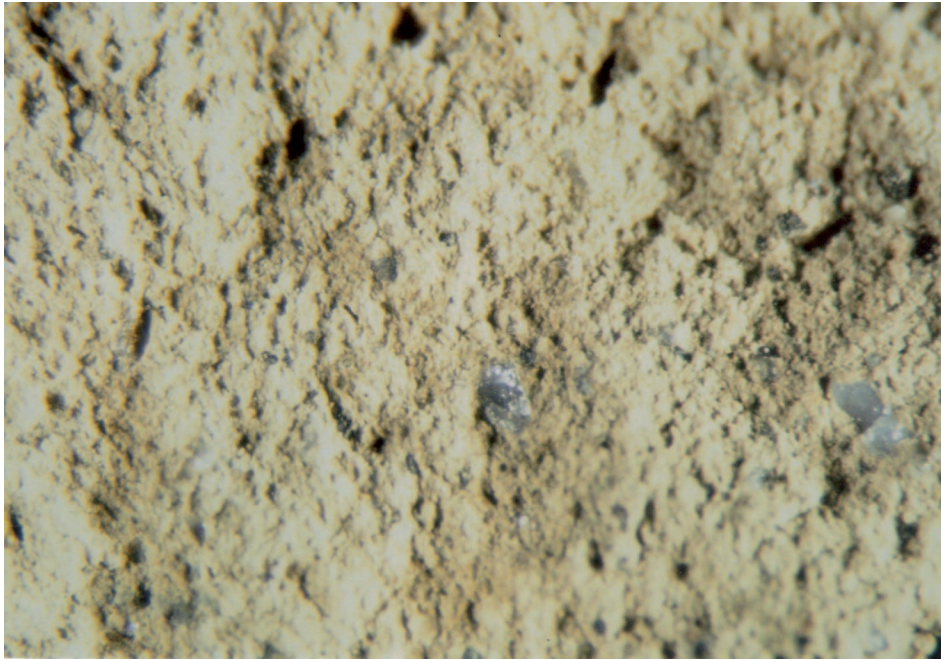
4.



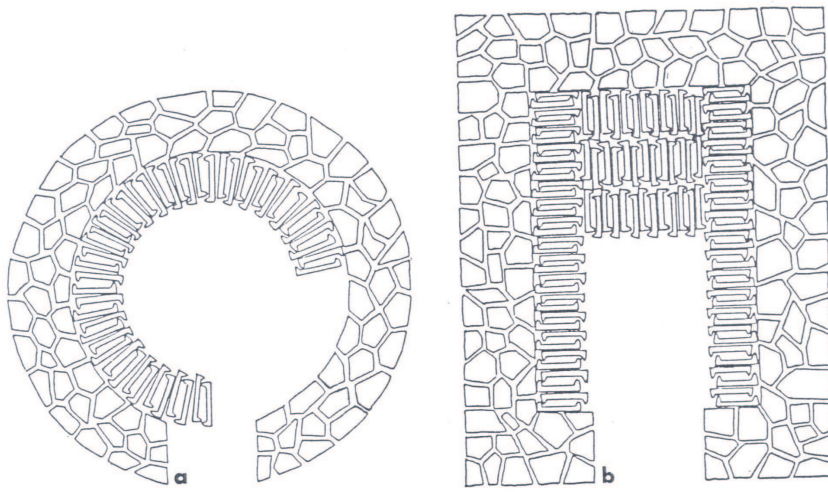
5.



**Figura 58.** Petjades de gat i gos sobre *tegulae* i rajols. 1. quatre petjades de gat sobre rajola, 02-ER-60-27; 2. petjada de gos sobre *tegula* provinent del superficial; 3. dos petjades sobre *tegula* de gat?, 07-ER-196; 4. Petjada de gat sobre *tegula*, 02-ER-48; 5. Petjada de gos 07-ER-196.



**Figura 59.** Fotografia en 15 augments que mostra els diferents graus de depuració de l'argila. La fotografia superior sobre una ceràmica comuna i la inferior sobre una canal oberta, en la qual l'argila no és tant depurada.



**Figura 60.** Tipus de posicionament del material de construcció en el laboratori dels forns, circular o rectangular. (Le Ny, 1988, 33)



**Figura 61.** Rebutjos de forn procedents de la UE 9 en els quals evidencia l'existència de forns mixtes en els quals es combinava la cocció de peces ceràmiques com de rajoleria.

**Figura 62.** Traça d'una primera fornada en el qual s'observa la disposició de les teules en paquets de 8. (Le Ny, 1988, 32)



**Figura 63.** Àrea de mercat de la bòbila d'Ermedàs.  
 (Tremoleda/Castanyer/Puigdevall, 2007, 28)

